



2020

CANPOINT®

主编：肖德好

\*\*\*\*\*

# 全品高考

# 知识点快

地理

-----本册主编-----

林志胜



黄河出版传媒集团  
阳光出版社

# 图书在版编目 (CIP) 数据

全品高考短平快：新课标·地理 / 肖德好主编. —银川：阳光出版社，2014. 9  
(2019. 9 重印)

ISBN 978-7-5525-1420-9

I. ①全… II. ①肖… III. ①中学地理课—升学参考资料 IV. ①G634

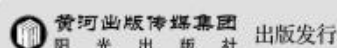
中国版本图书馆 CIP 数据核字 (2014) 第 194774 号

全品高考短平快 地理 新课标

肖德好 主编

责任编辑 徐文佳

封面设计 锦时创意



地 址 宁夏银川市北京东路 139 号出版大厦(750001)

网 址 <http://www.ygchbs.com>

网上书店 <http://shop129132959.taobao.com>

电子信箱 yangguangchubanshe@163.com

邮购电话 0951—5014139

经 销 全国新华书店

印刷装订 衡水蓝天印刷有限责任公司

印刷委托书号 (宁)0014373

地图审图号 GS(2019)4951 号

---

开 本 880mm×1230mm 1/16

印 张 13

字 数 416 千字

版 次 2014 年 9 月第 1 版

印 次 2019 年 9 月第 6 次印刷

书 号 ISBN 978-7-5525-1420-9

---

定 价 48.80 元

## 考卷题型 I 选择题 速度+效率

|                                    |     |                |     |
|------------------------------------|-----|----------------|-----|
| 类型 1 等值线图判读型                       | 001 | 方向 2 饼状结构图     | 023 |
| 方向 1 等高(深)线图                       | 001 | 方向 3 柱状结构图     | 025 |
| 方向 2 等压线图                          | 003 | 方向 4 直角坐标图     | 027 |
| 方向 3 等温线图                          | 005 | 方向 5 三角坐标图与变式图 | 029 |
| 方向 4 其他(等降水量线图、交通等时线<br>图、地租等值线图等) | 007 |                |     |
| 类型 2 示意图判读型                        | 009 | 类型 5 世界区域图判读型  | 031 |
| 方向 1 剖面示意图                         | 009 | 方向 1 亚洲与非洲区域图  | 031 |
| 方向 2 分布示意图                         | 011 | 方向 2 美洲区域图     | 033 |
| 方向 3 过程示意图                         | 013 | 方向 3 欧洲区域图     | 035 |
| 方向 4 原理及关联示意图                      | 015 | 方向 4 大洋洲与其他区域图 | 037 |
| 类型 3 景观图判读型                        | 017 | 类型 6 中国区域图判读型  | 039 |
| 方向 1 自然景观图                         | 017 | 方向 1 北方地区图     | 039 |
| 方向 2 人文景观图                         | 019 | 方向 2 南方地区图     | 041 |
| 类型 4 统计图表判读型                       | 021 | 方向 3 西北与青藏地区图  | 043 |
| 方向 1 表格                            | 021 | 类型 7 其他判读型     | 045 |
|                                    |     | 方向 1 热点图       | 045 |
|                                    |     | 方向 2 文字材料型     | 047 |

## 考卷题型 II 非选择题 规范+方法

|               |     |              |     |
|---------------|-----|--------------|-----|
| 类型 1 特征描述类    | 049 | 方向 3 城市与发展类  | 063 |
| 方向 1 地理位置描述类  | 049 | 方向 4 交通与联系类  | 065 |
| 方向 2 地形特征描述类  | 051 | 类型 3 区域分析类   | 067 |
| 方向 3 气候特征描述类  | 053 | 方向 1 区域发展条件类 | 067 |
| 方向 4 河流特征描述类  | 055 | 方向 2 区域差异比较类 | 069 |
| 方向 5 植被、土壤特征类 | 057 | 方向 3 区域资源开发类 | 071 |
| 类型 2 区位分析类    | 059 | 方向 4 区域经济发展类 | 073 |
| 方向 1 农业区位因素类  | 059 | 方向 5 区域环境问题类 | 075 |
| 方向 2 工业区位因素类  | 061 |              |     |

## 考卷题型 III 单科卷 模拟+心态

|                 |     |                 |     |
|-----------------|-----|-----------------|-----|
| 仿真 1 11+2+2 选 1 | 077 | 仿真 4 11+2+2 选 1 | 089 |
| 仿真 2 11+2+2 选 1 | 081 | 仿真 5 11+2+2 选 1 | 093 |
| 仿真 3 11+2+2 选 1 | 085 | 仿真 6 11+2+2 选 1 | 097 |

## 第一部分 小题快练

|                       |      |                       |      |
|-----------------------|------|-----------------------|------|
| 小题快练 1 “11 选择” 44 分练  | 专 01 | 小题快练 14 “11 选择” 44 分练 | 专 27 |
| 小题快练 2 “11 选择” 44 分练  | 专 03 | 小题快练 15 “11 选择” 44 分练 | 专 29 |
| 小题快练 3 “11 选择” 44 分练  | 专 05 | 小题快练 16 “11 选择” 44 分练 | 专 31 |
| 小题快练 4 “11 选择” 44 分练  | 专 07 | 小题快练 17 “11 选择” 44 分练 | 专 33 |
| 小题快练 5 “11 选择” 44 分练  | 专 09 | 小题快练 18 “11 选择” 44 分练 | 专 35 |
| 小题快练 6 “11 选择” 44 分练  | 专 11 | 小题快练 19 “11 选择” 44 分练 | 专 37 |
| 小题快练 7 “11 选择” 44 分练  | 专 13 | 小题快练 20 “11 选择” 44 分练 | 专 39 |
| 小题快练 8 “11 选择” 44 分练  | 专 15 | 小题快练 21 “11 选择” 44 分练 | 专 41 |
| 小题快练 9 “11 选择” 44 分练  | 专 17 | 小题快练 22 “11 选择” 44 分练 | 专 43 |
| 小题快练 10 “11 选择” 44 分练 | 专 19 | 小题快练 23 “11 选择” 44 分练 | 专 45 |
| 小题快练 11 “11 选择” 44 分练 | 专 21 | 小题快练 24 “11 选择” 44 分练 | 专 47 |
| 小题快练 12 “11 选择” 44 分练 | 专 23 | 小题快练 25 “11 选择” 44 分练 | 专 49 |
| 小题快练 13 “11 选择” 44 分练 | 专 25 |                       |      |

## 第二部分 大题攻关

|                              |      |                              |      |
|------------------------------|------|------------------------------|------|
| 大题攻关 1 “36、37” + “二选一” 56 分练 | ...  | 大题攻关 5 “36、37” + “二选一” 56 分练 | ...  |
| .....                        | 专 51 | .....                        | 专 59 |
| 大题攻关 2 “36、37” + “二选一” 56 分练 | ...  | 大题攻关 6 “36、37” + “二选一” 56 分练 | ...  |
| .....                        | 专 53 | .....                        | 专 61 |
| 大题攻关 3 “36、37” + “二选一” 56 分练 | ...  | 大题攻关 7 “36、37” + “二选一” 56 分练 | ...  |
| .....                        | 专 55 | .....                        | 专 63 |
| 大题攻关 4 “36、37” + “二选一” 56 分练 | ...  | 大题攻关 8 “36、37” + “二选一” 56 分练 | ...  |
| .....                        | 专 57 | .....                        | 专 65 |

# 类型 1 等值线图判读型

## 方向 1 等高(深)线图

### 典题示范

“地坑院”是黄土高原上的特色民居。2017年2月,某电视宣传片以空中视角立体化展示了这个“地平线下古村落,民居史上活化石”的全貌。图1-1-1为某地坑院村落景观图,图1-1-2为某黄土塬地形示意图。读图回答1~2题。

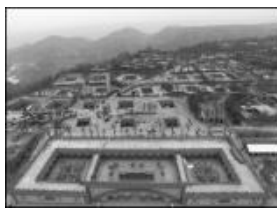


图1-1-1

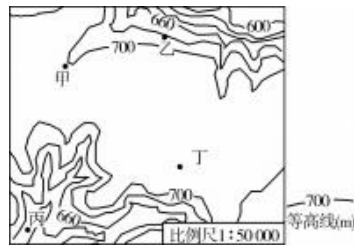


图1-1-2

1. 图1-1-2中,适合建造地坑院村落的是 ( )  
 A. 甲  
 B. 乙  
 C. 丙  
 D. 丁
2. 作为“民居史上活化石”的地坑院,今后应 ( )  
 A. 有选择地作为旅游资源开发  
 B. 对各处地坑院完整保护  
 C. 对废弃的地坑院大力修复  
 D. 加速地坑院的推广建造

### 判读思路

等高线地形图的判读思路见下表。

| 读图五方面   | 读图内容   | 分析、解决问题   |
|---------|--|---|
| 读数值范围   | ①区域地势起伏大小<br>②海拔最大值、最小值                            | 判断区域地形特征,判断坡向(迎风坡、背风坡,阳坡、阴坡)  |
| 读数值变化方向 | 区域等高线整体数值变化方向                                      |   |
| 读疏密程度   | ①坡度陡缓——密陡疏缓<br>②坡面凹凸:高疏低密——凸坡,高密低疏——凹坡             | 农业:陡坡营造水土保持林,缓坡修梯田<br>工程建设:为使道路平坦,公路尽量沿等高线修建,“之”字形道路也是为了降低坡度        |
| 读弯曲状况   | ①山脊:等高线凸向低处<br>②山谷:等高线凸向高处<br>③鞍部:正对的两山脊等高线之间的低凹部位 | 判断河流流向:河流流向与等高线凸出方向相反。<br>判断局部等温线凸出方向:山谷地势低,气温较两侧高,等温线凸向温度低的方向;山脊相反 |

(续表)

| 读图五方面 | 读图内容   | 分析、解决问题             |
|-------|--|---------------------|
| 读局部闭合 | ①山顶、山峰:中间高,四周低<br>②盆地、洼地:四周高,中间低<br>③表示高度不在正常范围,判读规律:“大于大的”或“小于小的” | 判断局部海拔高度大小或高度范围、高差等 |

### 规范演练

读某地等高线示意图(图1-1-3),完成1~3题。

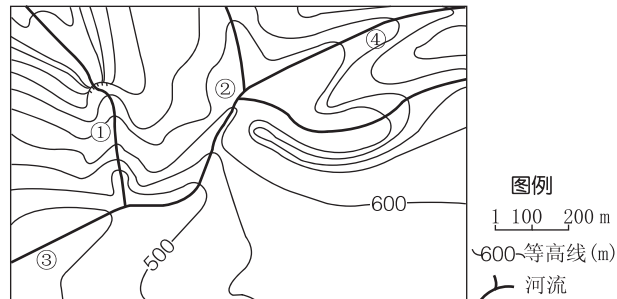


图1-1-3

1. 图中陡崖处有一瀑布,瀑布落差可能为 ( )  
 A. 150米 B. 245米 C. 275米 D. 300米
2. 图中①②③④附近河段中,水流速度最快的是 ( )  
 A. ① B. ② C. ③ D. ④
3. 若仅考虑地形和工程量因素,在图示区域内最适宜建坝处拟建一座小型水库,要求水库蓄满水后,水面海拔高度达到645米,则大坝的长度约为 ( )  
 A. 50米 B. 100米 C. 150米 D. 200米

图1-1-4是海河流域某地局部等高线地形图。读图完成4~6题。

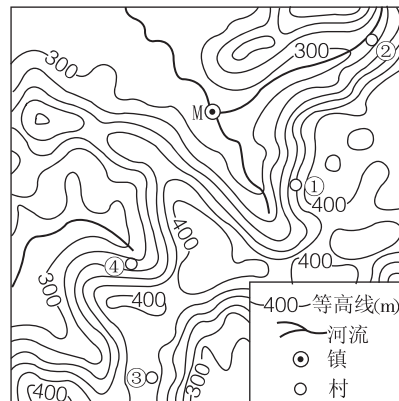


图1-1-4

4. 坪是指山区中局部的平地,图中村名中最可能含有“坪”的是( )

- A. ①村 B. ②村 C. ③村 D. ④村

5. M镇某日北京时间4:40日出,该日最可能在( )

- A. 3月份 B. 6月份 C. 9月份 D. 12月份

6. 当M镇人在秋分日看到太阳升起时,太阳位于( )

- A. 正北方 B. 正东方 C. 东北方 D. 东南方

冻土有永久性冻土和季节性冻土之分。读我国某省级行政区季节性冻土最大冻结深度分布图(图1-1-5),回答7~9题。

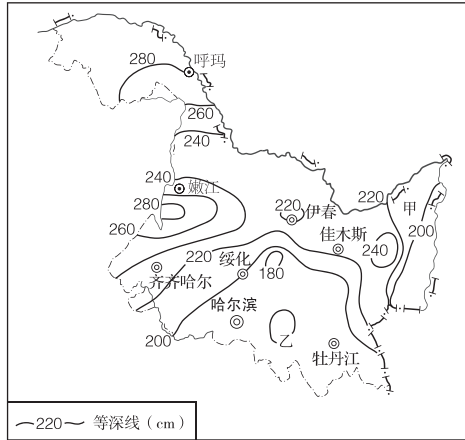


图1-1-5

7. 图中乙在等深线上,则乙处季节性冻土最大冻结深度数值最可能是( )

- A. 180厘米 B. 200厘米 C. 220厘米 D. 160厘米

8. 下列关于冻土对甲处自然环境影响的叙述,正确的是( )

- A. 岩石化学风化强,风化壳厚  
B. 地面反射率增大,干旱严重  
C. 植物根系生长慢,土壤贫瘠  
D. 地表水不易下渗,沼泽广布

9. 下列叙述正确的是( )

- A. 从图可以看出,该省级行政区季节性冻土呈点状分布  
B. 最大冻结深度大致自南向北增大  
C. 该省级行政区的季节性冻土最厚处为3.5米  
D. 该省级行政区全部都是季节性冻土

苋菜茎叶可作为蔬菜食用;叶色丰富,主要供观赏;根、果实等可入药,有明目、利湿、去寒热的功效。苋菜喜温暖,较耐热,生长适温23~27℃,20℃以下生长缓慢,要求土壤湿润,但不耐涝。图1-1-6为我国长江中下游某区域等高线及等潜水位线示意图,图示区域有一条大型河流流经。读图回答10~12题。

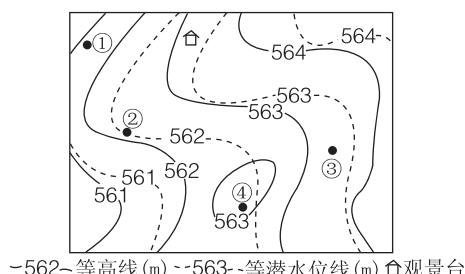


图1-1-6

10. 关于图中①②③④四地的表述,正确的是( )

- A. ①地潜水流动速度最大  
B. ②地潜水由西北流向东南

C. ③地看不见观景台

D. ④地潜水埋藏深度可能为4米

11. 图中四地最适合种植苋菜的最可能是( )

- A. ①地 B. ②地 C. ③地 D. ④地

12. 图示季节( )

- A. 河流水补给潜水  
B. 河流挟带泥沙量较多  
C. 苋菜生长缓慢  
D. 日落时观景台影和河流基本垂直

陷落柱是岩层中岩溶空洞塌陷,上部地层下沉形成的堆积体。煤炭采掘时遇到陷落柱,可能发生矿难事故,给煤炭生产造成很大困难。图1-1-7示意某煤层底面在地下的分布与起伏状况。据此完成13~15题。

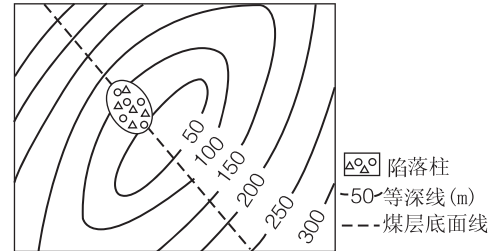


图1-1-7

13. 图中陷落柱与煤层底面的切面的最大垂直高度可能为( )

- A. 40米 B. 80米 C. 120米 D. 160米

14. 与图中陷落柱成因有关的表述是( )

- A. 背斜顶部多裂隙 B. 向斜槽部易积水  
C. 煤层结构较松软 D. 煤炭采空致塌陷

15. 在采掘工作面接近陷落柱时,下列现象属于前兆特征的是( )

- A. 周围岩层逐渐致密 B. 周围小断层逐渐增多  
C. 涌出水量逐渐减少 D. 煤层顶板压力减小

某中学地理兴趣小组到华北某山区古村落进行研学旅行。该村落堪称山区院落民居的典范,村中保留了大量明清时期的院落。图1-1-8示意该村落及周边地形。据此完成16~17题。

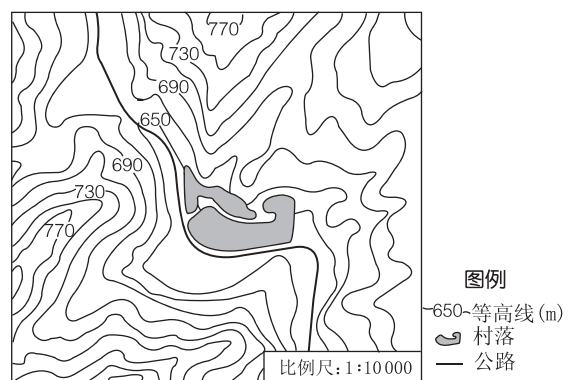


图1-1-8

16. 该古村落内的最大高差最可能是( )

- A. 18米 B. 38米 C. 58米 D. 78米

17. 推测该古村落的景观特点是( )

- A. 依山修建,南高北低  
B. 院落小巧精致,组织紧凑  
C. 道路宽阔,石材铺设  
D. 房屋南北置窗,大小一致

## 方向2 等压线图

### 典题示范

图1-1-9为北半球某日2时海平面气压分布图(单位:百帕)。读图,回答1~2题。

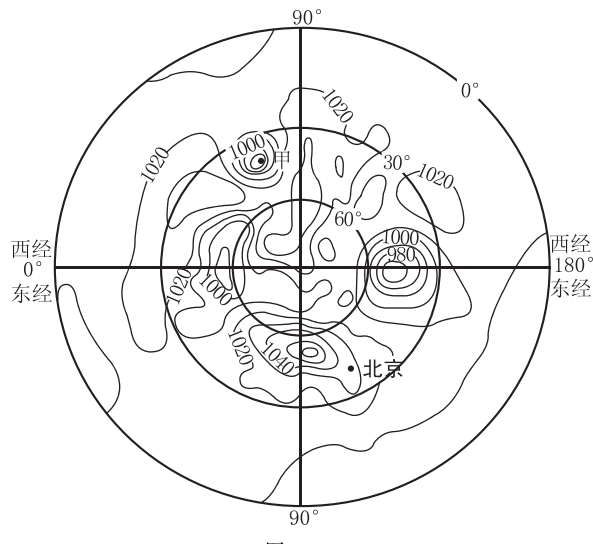


图 1-1-9

1. 据图推断 ( )  
A. 北京风速大,风向偏东南  
B. 甲地可能出现强降水天气  
C. 极地气温低,气压值最高  
D. 热带太平洋洋面生成台风
2. 依据气压分布判断,该日最接近 ( )  
A. 冬至                    B. 小满  
C. 夏至                    D. 立秋

### 判读思路

影响气压的基本要素有海拔、气温、空气运动等。规律如下。

从海拔来看,同一地点,气压总是随海拔高度的增加而递减,高空的气压总是低于近地面的气压;从气温来看,同一高度,气温越高的地方,气压越低;从空气运动状况来看,气流上升处近地面气压低,气流下沉处近地面气压高。

#### 1. 判断气压类型

- (1) 凡闭合等压线中心气压高于四周气压的区域为高气压区。
- (2) 凡闭合等压线中心气压低于四周气压的区域为低气压区。
- (3) 由高气压区向外延伸出来的狭长区域为高压脊,高压脊中等压线最弯曲部分的连线称为脊线。
- (4) 由低气压区向外延伸出来的狭长区域为低压槽,低压槽中等压线最弯曲部分的连线称为槽线。
- (5) 两个高压脊和两个低压槽交错形成的部位为鞍部。

#### 2. 判断季节变化

根据海陆热力性质的差异,同一纬度地区,夏季大陆比海洋热,大陆形成热低压;冬季大陆比海洋冷,大陆形成冷高压。因此,北(南)半球大陆出现高压中心或海洋出现低压中心时为北(南)半球冬季,反之为夏季。

#### 3. 判断风力大小

(1) 同一等压线图中,等压线越密集,单位距离内气压差异越大,水平气压梯度力越大,风力越大。

(2) 不同等压线图中,比较相邻两条等压线差值的大小和比例尺的大小。若比例尺相同,相邻两条等压线图上距离两图相同,则等压线差值越大的图所示的风力越大;若比例尺不同,相邻两条等压线图上距离两图相同,且等压线差值相同,则比例尺越大的图所示风力越大。

#### 4. 判断某点近地面风向

作图分析法——首先画出该点的水平气压梯度力(垂直于等压线,并且由高压指向低压;若等压线不规则,呈弯曲状态,则作过该点的等压线切线的垂线,由高压指向低压),然后再根据地转偏向力“南左北右”的规律,在水平气压梯度力方向的基础上向右(北半球)或向左(南半球)作出偏转角度为30°~45°的箭头,由此确定该点的近地面风向。如图1-1-10所示:

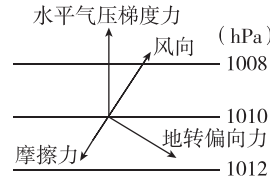


图 1-1-10

#### 5. 判断天气状况

低压中心气流辐合上升,低压槽易形成锋面,二者盛行上升气流,多阴雨天气。高压中心与高压脊处气流辐散下沉,不利于锋面的形成,受高压中心与高压脊控制的地区多晴朗天气。

### 规范演练

图1-1-11为某年5月10日2时亚洲部分地区海平面气压形势图。读图回答1~2题。

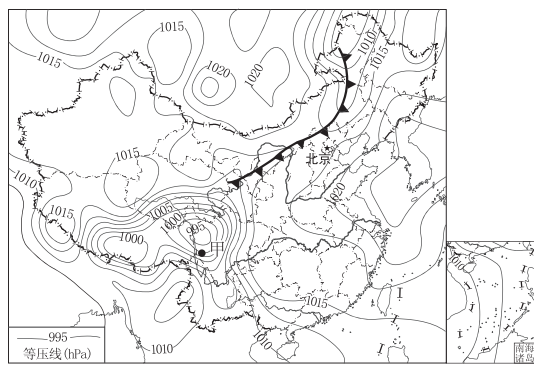


图 1-1-11

1. 该日,甲地政府部门可能发布 ( )  
A. 台风预警              B. 森林火灾预警  
C. 寒潮预警              D. 滑坡、泥石流预警
2. 北京市未来两天的天气状况可能是 ( )  
A. 雨过天晴,气温将显著升高  
B. 气压下降,出现连续性降水  
C. 降雨后,可吸入颗粒物减少  
D. 风向转为偏南风,风速降低

图 1-1-12 为某地区某一时刻的温压场分布,实线为 925 百帕等压面的高度分布状况(单位:米),虚线为近地面气温分布。读图,回答 3~4 题。

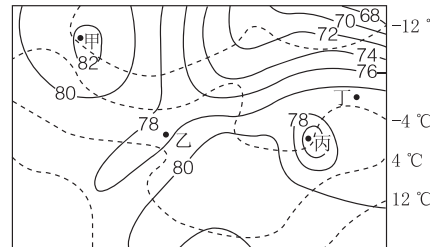


图 1-1-12

3. 图示时刻,下列近地面各点中可能出现阴雨天气的是( )

- A. 甲      B. 乙      C. 丙      D. 丁

4. 若该天气系统略向东移动,则风向改变最为明显的是( )

- A. 甲      B. 乙      C. 丙      D. 丁

图 1-1-13 示意澳大利亚及附近区域天气形势。结合所学知识,完成 5~7 题。

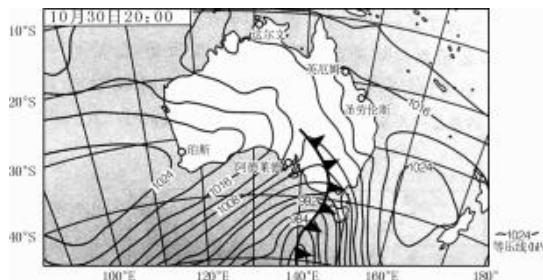


图 1-1-13

5. 对图中澳大利亚各港口城市的描述,正确的是( )

- A. 珀斯和圣劳伦斯距离在 4000 千米以上  
B. 阿德莱德植被季节变化率远大于达尔文  
C. 英厄姆全年降水明显多于阿德莱德和珀斯  
D. 珀斯和达尔文受暖流影响明显

6. 若图中等压线状况不变,某游客自驾汽车,沿海岸线从圣劳伦斯经阿德莱德到达珀斯,其感受到的天气变化可能是( )

- A. 气压:低—高—低  
B. 气温:高—低—低  
C. 风向:西南风—东南风—西北风  
D. 降雨:晴—雨—晴

7. 洗车指数是根据过去 12 小时和未来 48 小时有无雨雪天气、路面是否有积雪和泥水、是否容易使汽车溅上泥水、是否有沙尘等天气条件,给爱车族提供的是否适宜洗车的气象指数。洗车指数共分为四级,级数越高,就越不适宜洗车。图中城市洗车指数最高的是( )

- A. 英厄姆      B. 圣劳伦斯  
C. 阿德莱德      D. 珀斯

近年来,我国多地出现霾天气。霾是一种天气现象,是大量极细微的干尘粒等均匀地悬浮在空中,使水平能见度小于 10 千米的空气普遍混浊现象。读某区域 4 月 20 日气压(单位:百帕)分布示意图(图 1-1-14),完成 8~9 题。

8. 下列关于图中各地的天气特点及成因的叙述,正确的是( )

- A. 受台风影响,东京风力大于长沙  
B. 受暖锋影响,淮南即将迎来绵绵细雨  
C. 受上升气流影响,北京天气晴朗  
D. 受反气旋的控制,平壤出现狂风暴雨天气

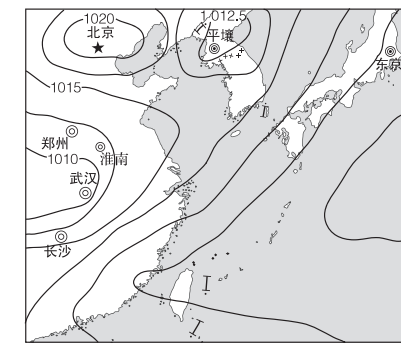


图 1-1-14

9. 仅考虑气象条件,图中出现霾可能性最大的区域是( )

- A. 平壤地区      B. 北京地区  
C. 山东半岛东部地区      D. 郑州地区

图 1-1-15 为某地区 12 月 1 日 11 时海平面气压分布图(单位:百帕)。前期,华北地区遭遇强降雪,融雪导致地面湿度接近饱和,温度降低,而同期中层大气显著回暖。据此完成 10~11 题。

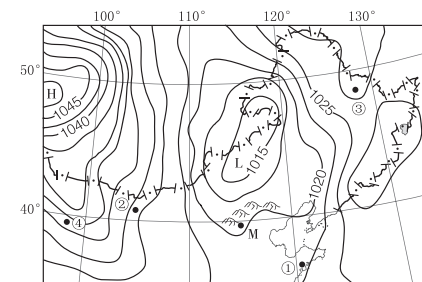


图 1-1-15

10. 此时( )

- A. ①地受弱偏南风影响      B. ②地气压高于③地  
C. ③地正值阴雨天气      D. ④地云量大,气温低

11. 此时,M 地雪后发展起来的雾、霾仍难以消散的主要原因有( )

- ①逆温现象的存在      ②近地面空气湿度大      ③东南风风力小      ④山地阻挡了污染物扩散  
A. ①②③      B. ①②④      C. ②③④      D. ①②③④

细颗粒物( $PM_{2.5}$ )的排放量若超过大气循环能力和承载度,细颗粒物将持续积聚,此时如果受静稳天气等影响,极易出现大范围的霾。图 1-1-16 是我国南方局部区域某日海平面与相应 5000 米高空气压差等值线分布示意图(单位:百帕)。读图完成 12~13 题。

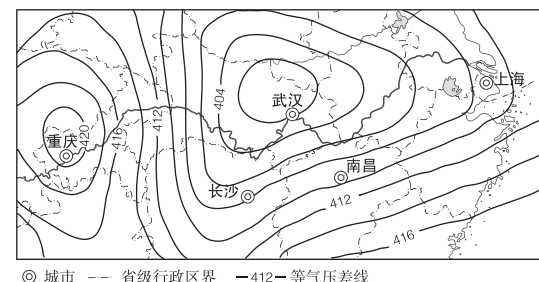


图 1-1-16

12. 此时,南昌近地面的风向最有可能为( )

- A. 偏东风      B. 偏西风  
C. 偏南风      D. 偏北风

13. 此时,下列城市最易出现持续霾天气的是( )

- A. 长沙      B. 重庆      C. 南昌      D. 武汉

### 方向3 等温线图

#### 典题示范

图 1-1-17 为某山地气象站一年中每天的日出、日落时间及逐时气温(℃)变化图。读图,回答 1~2 题。

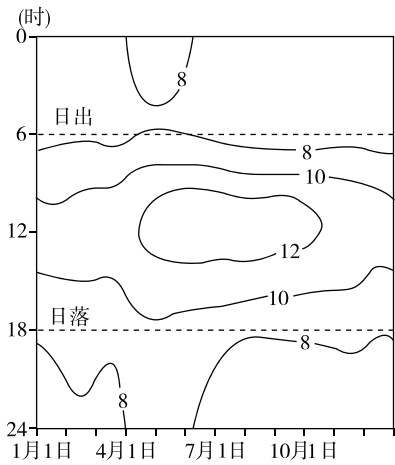


图 1-1-17

1. 气温日较差大的月份是 ( )  
A. 1 月    B. 4 月    C. 7 月    D. 10 月
2. 该山地 ( )  
A. 冬季受副热带高气压带控制  
B. 因台风暴雨引发的滑坡多  
C. 基带的景观为热带雨林  
D. 山顶海拔低于 1000 米

#### 判读思路

##### 1. 判断气候类型

最冷月 15℃ 和 0℃ 等温线分别是热带与亚热带、亚热带和温带气候类型区(温带海洋性气候除外)的分界线。

##### 2. 判断南、北半球

等温线数值向北递增为南半球,向南递增为北半球。

##### 3. 判断海陆位置及月份

根据同纬度海洋和陆地上等温线的弯曲状况,可判断月份及海陆位置。可根据“1 陆南,7 陆北”法则来判断,即“1 月份陆地上等温线向南凸出,7 月份陆地上等温线向北凸出”;海洋上等温线凸出方向与陆地上正好相反。

##### 4. 判断寒、暖流

(1) 寒流:寒流中心水温比同纬度的其他地区低,故等温线向高值区凸出(原理同冬季的陆地或夏季的海洋)。

(2) 暖流:暖流中心水温比同纬度的其他海区高,故等温线向低值区凸出(原理同夏季的陆地或冬季的海洋)。

##### 5. 判断地势起伏

(1) 地势高:在等温线图上,地势高处等温线的数值要比同纬度的其他地区低,或等温线向高值区凸出。

(2) 地势低:在等温线图上,地势低处等温线的数值要比同纬度的其他地区高,或等温线向低值区凸出。

##### 6. 判断地形类型

等温线为闭合状态时,闭合圈数值里大外小为盆地,里小外大为山地。由于盆地、谷地中的空气易集聚、难扩散,因而也常用这一方法来判断盆地、谷地中城市大气质

量的高低等。

#### 7. 判断空间温差大小

等温线稀疏的地区空间温差小,等温线密集的地区空间温差大。寒、暖流交汇处和锋面附近空间温差较大,陆地较海洋空间温差大,温带较热带空间温差大,冬季较夏季空间温差大。

#### 规范演练

每年有大约 400 座冰山完成从格陵兰岛始发的漫长行程,最终漂入纽芬兰岛附近的温暖水域,威胁着航道上的船只安全。读北大西洋中高纬度洋面年平均水温图(图 1-1-18),完成 1~3 题。

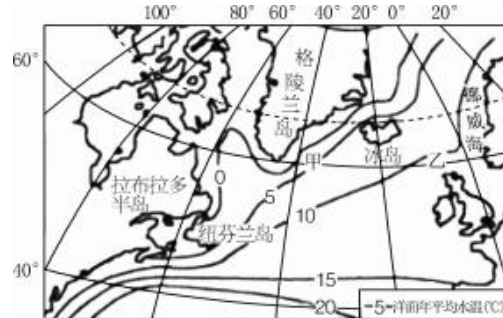


图 1-1-18

1. 纽芬兰岛附近出现冰山数量最少的季节是 ( )  
A. 春季    B. 夏季    C. 秋季    D. 冬季
2. 北大西洋 60°N 附近甲海域平均水温比乙海域低,主要是因为 ( )  
A. 盛行风来源不同    B. 洋流性质不同  
C. 距大陆的远近不同    D. 人类活动的强度不同
3. 为了防止漂浮冰山对过往船只造成威胁,我们可以 ( )  
A. 炸毁冰山    B. 把冰山牵引至安全海域  
C. 人工融化冰山    D. 监测冰山位置,加强预报

图 1-1-19 为北半球某大洋西部甲、乙两处表层水温等值线示意图。读图,完成 4~5 题。



图 1-1-19

4. 下列选项中对甲、乙两处的洋流性质及其分布纬度的判断,正确的是 ( )  
A. 甲—寒流—55°    B. 乙—暖流—55°  
C. 甲—暖流—25°    D. 乙—寒流—25°
5. 乙处洋流对流经地区地理环境的影响可能有 ( )  
①使欧洲西部冬季气温较同纬度其他地区高    ②使撒哈拉沙漠向西延伸到大西洋沿岸    ③促使纽芬兰渔场形成  
④使俄罗斯堪察加半岛冬季更加寒冷  
A. ①③    B. ③④  
C. ①④    D. ②④

多年冻土分为上下两层,上层为夏季融化、冬季冻结的活动层,下层为多年冻结层。我国的多年冻土主要分布于东北

高纬度地区和青藏高原高海拔地区。东北高纬度地区多年冻土南界的年平均气温在 $-1\sim1^{\circ}\text{C}$ ，青藏高原高海拔地区多年冻土下界的年平均气温为 $-3.5\sim-2^{\circ}\text{C}$ 。多年冻土的活动层反复冻融及冬季不完全冻结，会危及铁路路基。读图1-1-20，完成6~8题。

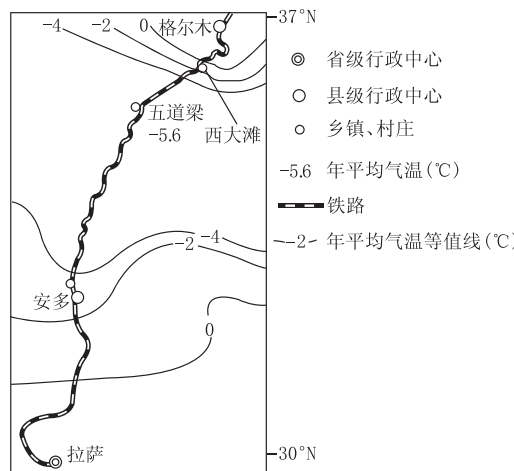


图1-1-20

6. 据图分析，图中铁路沿线的地势起伏状况是（ ）

- A. 北高南低
- B. 南高北低
- C. 南北两端海拔相近
- D. 中部高，南北两侧低

7. 图中铁路路基最易受多年冻土活动层危害的地点是（ ）

- A. 拉萨
- B. 安多
- C. 五道梁
- D. 西大滩

8. 青藏高原形成多年冻土的年平均气温比东北地区低的原因不可能是（ ）

- A. 太阳辐射强
- B. 冬季受冷空气影响小
- C. 夏季凉爽
- D. 降水量较少

图1-1-21为北半球中纬度地区某学校附近一处山谷的等高线、夏季某日不同时刻 $25^{\circ}\text{C}$ 等温线图，图中a、b等温线表示当地时间10时、16时气温分布状况。据此完成9~10题。

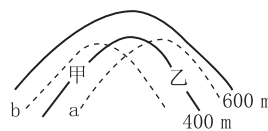


图1-1-21

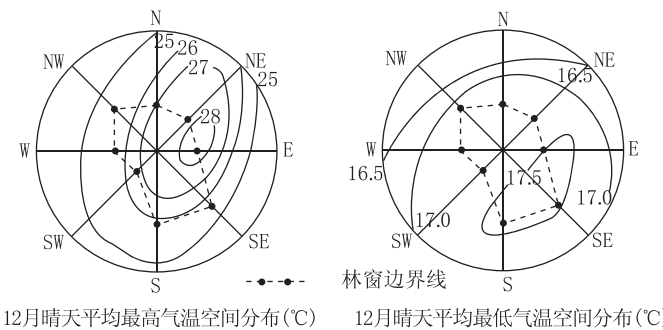
9. 有关 $25^{\circ}\text{C}$ 等温线分布的时刻及主要原因，说法正确的是（ ）

- A. a等温线表示10时，西坡是阴坡
- B. a等温线表示16时，东坡是阳坡
- C. b等温线表示10时，西坡是阴坡
- D. b等温线表示16时，东坡是阳坡

10. 山风是沿山坡吹向谷底的风，谷风正好相反。当日在相同的天气和地面状况下，图中甲、乙两地比较，正确的说法是（ ）

- A. 上午，甲地谷风比乙弱
- B. 甲、乙两地最高温时刻相同
- C. 下午，乙地山风比甲强
- D. 甲地气温日较差可能比乙地小

林窗是指森林中各种因素导致树木死亡、形成林中空地的现象。图1-1-22为我国某林地12月晴天平均最高气温(日最高气温总和/天数)和平均最低气温(日最低气温总和/天数)空间分布图。据此回答11~13题。



12月晴天平均最高气温空间分布(℃)

图1-1-22

11. 该地森林类型主要是（ ）

- A. 亚热带常绿阔叶林
- B. 热带雨林、季雨林
- C. 亚寒带针叶林
- D. 温带落叶阔叶林

12. 林窗的形成促进了林窗区内草本植物和灌木的生长，直接原因是（ ）

- A. 光照增加
- B. 降水增多
- C. 气温升高
- D. 温差加大

13. 与林窗西侧相比，12月林窗东侧的晴天平均最高气温较高，最合理的解释是（ ）

- A. 太阳从东南升，林窗东侧比西侧的日照时间长
- B. 上午多雾，日照多在下午，林窗东侧日照较多
- C. 林窗东侧的林木比西侧高大，导致东侧通风性好
- D. 林窗东侧的林木比西侧茂密，导致东侧湿度较大

在北半球中纬度锋面气旋发展的后期，若冷锋赶上暖锋，则东侧的暖锋向西、向南伸展，最后螺旋状地环绕在气旋中心四周，形成类似于“暖心”的结构。这一过程被称为暖锋后弯卷入过程。图1-1-23示意冬季某时刻北美大西洋300米高度气温与气旋中心。据此完成14~15题。

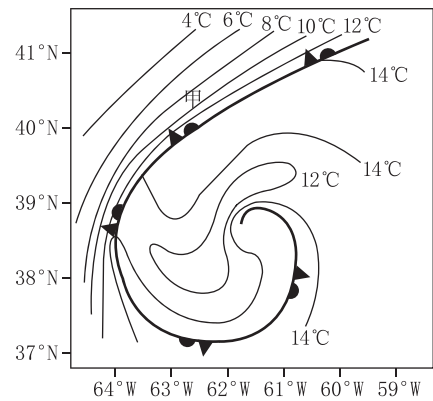


图1-1-23

14. 图示地区气旋中心“暖心”的最高气温与冷空气最低气温相差最大值可能是（ ）

- A. 9.9°C
- B. 12.9°C
- C. 13.9°C
- D. 14.9°C

15. 甲地未来短时间的天气变化是（ ）

- A. 风力加强，降水增多，气温升高
- B. 风力减弱，降水增多，气温下降
- C. 风力加强，降水减少，气温升高
- D. 风力减弱，降水减少，气温下降



4. 影响斯堪的纳维亚半岛上等固态降水率线分布的主要因素是 ( )

- ①纬度位置 ②海陆位置 ③地形地势 ④河湖分布

- ⑤洋流分布 ⑥植被状况

- A. ①③⑤ B. ②④⑥

- C. ②③④ D. ①⑤⑥

5. 图 1-1-27 中极光景观形成的主要原因是 ( )

- ①太阳黑子产生高能带电粒子 ②太阳日冕层产生太阳风

- ③纬度高, 地球磁场作用强 ④地势高, 空气稀薄

- A. ①③ B. ②④ C. ②③ D. ①④

读某地区年平均降水量(单位:毫米)示意图(图 1-1-28),回答 6~7 题。

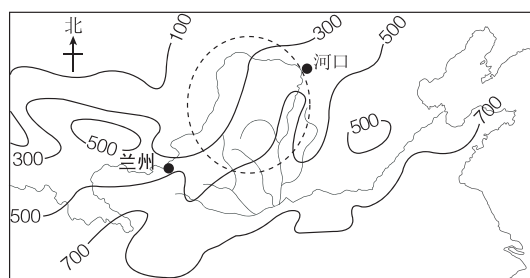


图 1-1-28

6. 影响图示地区降水分布的主要因素有 ( )

- A. 海陆位置 B. 地形

- C. 太阳辐射 D. 植被

7. 图中虚线圆圈所示区域生态脆弱的表现有 ( )

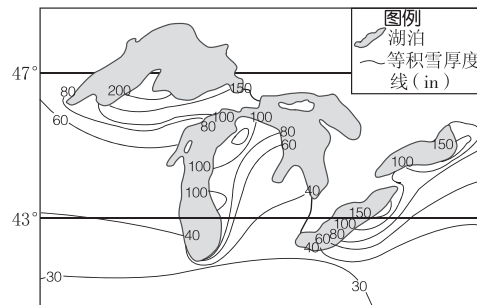
- A. 地势高峻, 气候寒冷

- B. 植被茂密, 水土流失不严重

- C. 湿地广布, 生物多样性不丰富

- D. 降水较少, 土地荒漠化严重

大湖效应指的是冷空气遇到大面积未结冰的水面(通常是指湖泊), 从中得到水蒸气和热量, 然后在湖泊迎风岸形成雨、雪、雾等的现象。图 1-1-29 为北美五大湖区局部地区年平均降雪量(1971—2000 年)的空间分布示意图。读图, 回答 8~9 题。



注: in 表示英寸, 1 英寸 = 2.54 厘米。

图 1-1-29

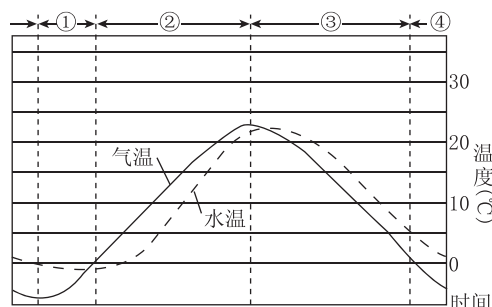


图 1-1-30

8. 图 1-1-30 为五大湖区东岸附近一年中气温与水温变化示意图。由大湖效应产生降雪的主要时期是 ( )

- A. ①

- B. ②

- C. ③

- D. ④

9. 与大湖效应产生降雪的过程原理类似的天气系统是 ( )

- A. 暖锋

- B. 冷锋

- C. 气旋

- D. 反气旋

图 1-1-31 为一段时间内太阳黑子数与我国某地区梅雨强度的相关系数分布图。读图回答 10~11 题。

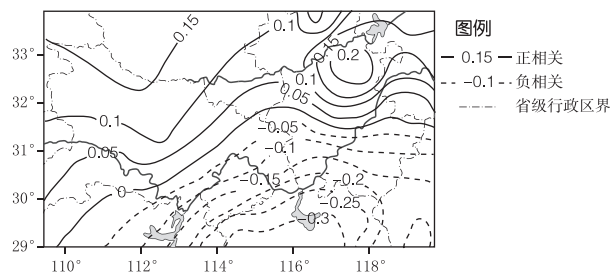


图 1-1-31

10. 太阳黑子数与梅雨强度 ( )

- A. 正相关最大值出现在图中东北部

- B. 在安徽省的大部分地区呈负相关

- C. 在图中西北部的相关性最小

- D. 在湖北省的东南部呈正相关

11. 太阳黑子数达最大值时 ( )

- A. 江淮地区梅雨强度增大

- B. 通信卫星信号易受干扰

- C. 漠河地区出现极昼现象

- D. 耀斑爆发强度减弱

随着中国城市化进程的加快, 家庭拥有汽车数量增加, 中国“堵城”数量急剧增加, 城市发展受到巨大挑战。图 1-1-32 为某城市中心商务区(阴影处)向外四条主要道路在高峰时段行车时间统计等时线图(单位:分)。读图回答 12~13 题。

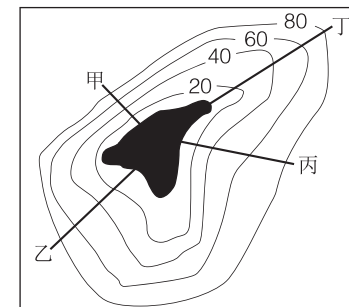


图 1-1-32

12. 图中最可能与主要住宅区连接的道路是 ( )

- A. 甲

- B. 乙

- C. 丙

- D. 丁

13. 下列交通方式对缓解“堵城”问题作用较小的是 ( )

- A. 市区快速公交系统

- B. 地铁

- C. 高铁

- D. 高架道路

## 类型 2 示意图判读型

### 方向 1 剖面示意图

#### 典题示范

图 1-2-1 为某区域的地质剖面图。该区域由地表平坦的 X 区和地表略有起伏的 Y 区组成。X 区的玄武岩岩层较厚，Y 区的玄武岩岩层较薄。据此完成 1~2 题。

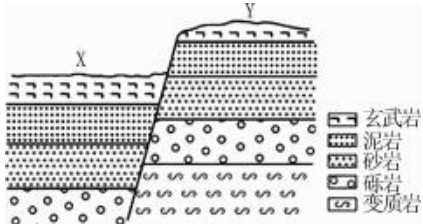


图 1-2-1

- 导致该区域分为 X 区和 Y 区的主要原因是 ( )  
A. 流水侵蚀  
B. 岩层褶皱  
C. 风沙侵蚀  
D. 岩层断层
- X 区和 Y 区的玄武岩岩层厚度存在差异是因为 ( )  
A. 喷发物质差异  
B. 冷凝环境差异  
C. 外力侵蚀差异  
D. 地壳运动差异

#### 判读思路

##### 1. 地形剖面示意图判读的基本方法

- (1) 仔细读图例、比例尺(包括垂直比例尺和水平比例尺)、剖面线的方向、经纬度位置、注记和图示说明。
- (2) 根据剖面示意图上的地势起伏状况, 读出沿剖面线各点的海拔、相对高度, 分析海陆分布和地形分布特征。
- (3) 确定剖面线所在的大洲、大洋、国家或地区位置。
- (4) 将地形剖面示意图所显示的地势起伏状况、海拔、地貌类型及地形特征等与该地区的地形进行对照, 判断地形区的名称。
- (5) 根据地形剖面示意图所示位置及地形等, 判断当地气候类型、自然带类型等各种地理事象, 综合分析解决实际问题。

##### 2. 地质剖面示意图的判读步骤

- (1) 根据图例和文字描述认清图中所表示的地层及其新老关系。
- (2) 根据地层的弯曲状况和新老关系分析图中的地质构造特征, 如分析图示是向斜还是背斜, 地层有无缺失, 有无断层, 有无侵入。
- (3) 最后分析并判断该地区的岩石类型、矿产分布状况及对工程建设方面的影响等内容。

#### 规范演练

图 1-2-2 是我国青海湖的湖盆地形、地质剖面图。读图回答 1~2 题。

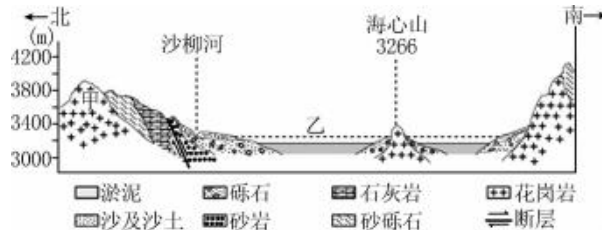


图 1-2-2

1. 图中 ( )  
A. 甲岩层形成于断层发生后  
B. 乙处是一个背斜谷地  
C. 海心山是火山活动形成的  
D. 湖盆因断裂陷落而成
2. 2. 当地特产的湟鱼生长极慢, 有“一年长一两”(一两为 50 克)之说, 是因为该湖泊 ( )  
A. 水量大, 盐度低, 饵料丰盛  
B. 流域封闭, 周边无河流, 少天敌  
C. 气候高寒, 水温低, 结冰期长  
D. 水位季节变化大, 且含沙量较大

图 1-2-3 示意北美洲某高原两个出露岩层的横剖面(未按比例绘制, 岩层已经编号以供识别), 在某些岩层中发现了化石。证据表明, ① 和 ② 岩层是在同一地质时期沉积形成。据此完成 3~4 题。

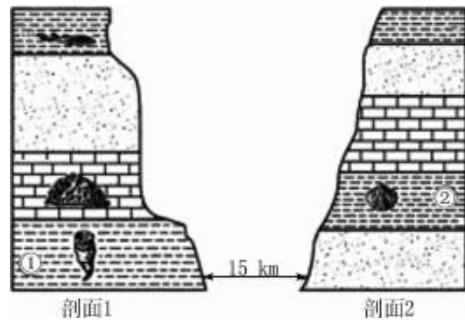


图 1-2-3

3. 形成图示沉积岩层时, 当地环境最有可能是 ( )  
A. 内陆沙漠  
B. 山间峡谷  
C. 广阔海洋  
D. 高纬冰川
4. ① 和 ② 岩层在同一地质时期沉积形成, 其证据是这两个岩层 ( )  
A. 含有相同种类化石  
B. 由冰川沉积物形成  
C. 被发现于同一地区  
D. 含同时代典型化石

地质剖面图能示意局部地区岩层形成的时间顺序及地质构造。读图 1-2-4,回答 5~7 题。

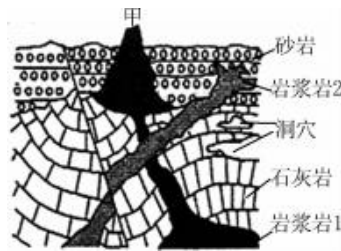


图 1-2-4

5. 图中甲处岩石的特点是 ( )

- A. 可能含有大量化石
- B. 颗粒细小,有明显的层理构造
- C. 有流纹构造,多气孔
- D. 质地坚硬,是重要的建筑材料

6. 图中地下洞穴形成的主要原因可能是 ( )

- A. 火山喷发
- B. 流水溶蚀
- C. 风力侵蚀
- D. 地层沉陷

7. 图示岩石形成的先后顺序可能是 ( )

- A. 岩浆岩 1—石灰岩—砂岩—岩浆岩 2
- B. 石灰岩—岩浆岩 1—砂岩—岩浆岩 2
- C. 岩浆岩 1—石灰岩—岩浆岩 2—砂岩
- D. 石灰岩—岩浆岩 1—岩浆岩 2—砂岩

盐丘是地下岩盐受挤压喷涌溢出而成的。岩盐是化学沉积的矿物——石盐组成的岩石。读图 1-2-5,回答 8~9 题。

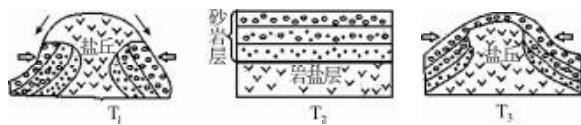


图 1-2-5

8. 关于该地区的描述,正确的是 ( )

- A. 盐丘形成顺序为  $T_2 \rightarrow T_1 \rightarrow T_3$
- B. 图中岩盐层的形成年代较晚
- C. 盐丘形成主要受内力作用
- D. 油气不可能在盐丘下部聚集

9. 该地区的部分盐山表面密布沟渠,甚至形成地下洞穴,形成的主要原因是 ( )

- A. 风力堆积
- B. 人为破坏
- C. 风化作用
- D. 流水侵蚀

三叶虫、恐龙、大型哺乳动物分别为古生代、中生代、新生代的代表性动物。图 1-2-6 为某地地质剖面示意图。读图回答 10~11 题。

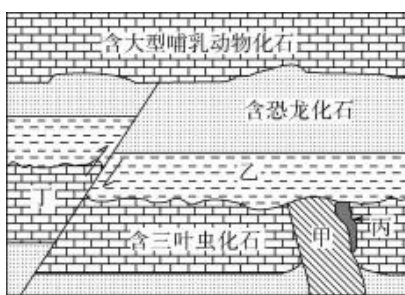


图 1-2-6

10. 图中断层最可能形成于 ( )

- A. 古生代前期
- B. 古生代后期—中生代前期

C. 中生代后期—新生代前期

D. 新生代后期

11. 下列叙述正确的是 ( )

- A. 甲处岩石为变质岩
- B. 丙处岩石是由外力作用形成的
- C. 丁岩层主要是由内力作用形成的
- D. 乙岩层形成之前该地发生过地壳抬升

图 1-2-7 示意青藏高原北部库赛湖的地理位置及该湖泊中 M 点的湖底沉积物剖面。据此完成 12~14 题。

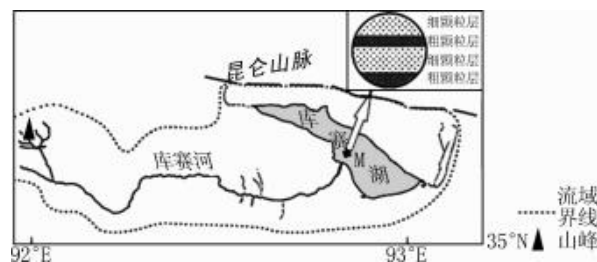


图 1-2-7

12. 图中 M 点的湖底粗颗粒层形成的地质作用及季节分别是 ( )

- A. 风力作用,春季
- B. 流水作用,夏季
- C. 海浪作用,秋季
- D. 冰川作用,冬季

13. 图中湖泊 M 点附近的水较浅,其主要成因可能是 ( )

- A. 青藏高原的抬升
- B. 区域降水量稀少
- C. 泥沙的大量沉积
- D. 断层使湖水渗漏

14. 近些年连续观测发现,湖底粗颗粒层的厚度逐渐变薄,推测其原因可能是 ( )

- A. 青藏高原风力减小
- B. 入湖水量逐渐增加
- C. 全球变暖,气温上升
- D. 区域生态环境改善

地下水水库是利用天然地下储水空间兴建的具有拦蓄、补充和利用地下水水流作用的一种水利枢纽。图 1-2-8 为我国新疆干旱区某内流河流域的地质剖面图。据此完成 15~17 题。

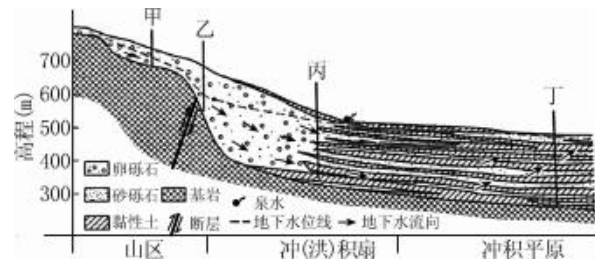


图 1-2-8

15. 与地表水库相比,建设地下水水库的突出特点表现为 ( )

- A. 技术要求低
- B. 移民搬迁多
- C. 资金投入多
- D. 生态破坏小

16. 图中四地中,最适合修建地下水水库的地下拦水坝的是 ( )

- A. 甲
- B. 乙
- C. 丙
- D. 丁

17. 在自然状态下,该流域地下水水库水位最高的月份最可能是 ( )

- A. 3 月
- B. 7 月
- C. 9 月
- D. 12 月

## 方向2 分布示意图

### 典题示范

20世纪60年代以来,我国蔗糖产业的重心从台湾不断西移;1993年后,广西甘蔗种植面积和蔗糖产量稳居全国首位。广西地跨北回归线,其东部、北部和西北部为山地,中南部是平原。图1-2-9为2016年广西蔗糖产量分布示意图。据此回答1~2题。(双选)

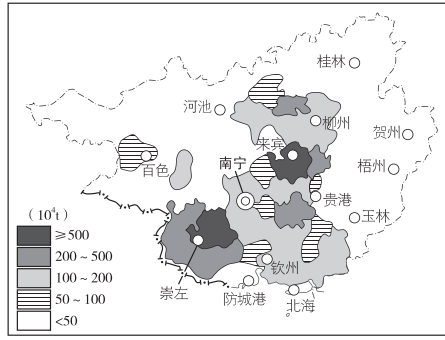


图1-2-9

1. 我国蔗糖产业重心西移的主要原因是 ( )  
A. 东部地区产业升级  
B. 东部地区环境退化  
C. 广西生产成本较低  
D. 广西消费市场广阔
2. 广西中南部成为甘蔗种植集中区域的主要影响因素是 ( )  
A. 技术  
B. 资金  
C. 地形  
D. 气候

### 判读思路

1. 读图名。读图时必须对图示区域内容进行纲要性总体认识,并调动相关的知识进行分析思考。
2. 读图例。只有阅读图例后再去读图中内容,才能获得解题的有效信息,提高阅读的有效性和针对性。
3. 确定位置。判断地理事物或现象的区域位置,我们可以从经纬度位置、海陆位置、区域相对位置等角度入手,判断时一般遵循由宏观到微观、由整体到局部的顺序。
4. 整理信息。根据图中事物的分布,归纳分布特征或规律,提取与设问内容相关的信息。

### 规范演练

读图1-2-10,回答1~2题。

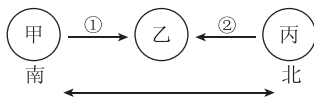


图1-2-10

1. 若该图为近地面局部气压带和风带分布示意图,则 ( )  
A. 甲不可能是极地高气压带  
B. 乙一定是赤道低气压带  
C. 丙不可能是副热带高气压带  
D. ①可能是盛行西风带

2. 若该图为北半球某地近地面热力环流示意图,则 ( )  
A. 甲地气压较乙地高  
B. 丙地气温较乙地高  
C. ①地盛行东南风  
D. ②地盛行西北风

地理研究人员在野外考察过程中,发现某一类地区的植被多呈斑块状分布特征。在自然降水条件下,该类地区结皮斑块产生的径流、侵蚀产物、有机质、氮及溶解养分均大量被位于下坡向的灌丛斑块截获。图1-2-11是这类地区植被呈斑块状分布的示意图。结皮斑块是由微细菌、真菌和藻类、地衣、苔藓等隐花植物,以及它们的菌丝、分泌物等与土壤砂砾黏结形成的复合物。读图回答3~5题。

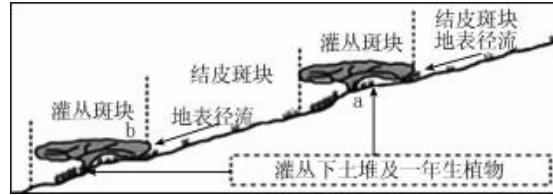


图1-2-11

3. 据图,形成a处堆积物的地质作用最可能是 ( )  
A. 冰川作用  
B. 风力作用  
C. 流水作用  
D. 风化作用
4. b处植被的作用主要是 ( )  
A. 增加空气湿度和地表径流  
B. 降低风速,减少沙尘  
C. 阻止冰川自山上向下移动  
D. 拦截径流和泥沙
5. 从植被分布的格局看,这一类地区最可能是 ( )  
A. 荒漠地区  
B. 草原地区  
C. 森林地区  
D. 高山草甸区

图1-2-12为世界某大洲局部区域自然带分布示意图,丙地此时炎热干燥。读图完成6~7题。

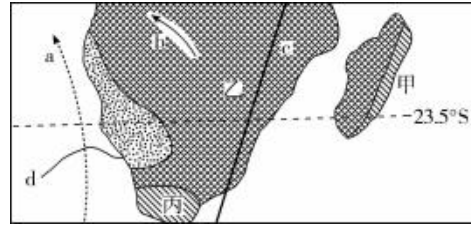


图1-2-12

6. 若a表示洋流流向,b表示盛行风向,c表示昏线,d表示等温线,则其中绘制错误的是 ( )  
A. a      B. b      C. c      D. d
7. 甲、乙两地自然景观差异很大,其影响因素主要是 ( )  
①纬度位置 ②大气环流 ③地形 ④洋流  
A. ①②      B. ③④  
C. ①③      D. ②④

图 1-2-13 为我国某地经济技术开发区规划示意图。读图完成 8~9 题。

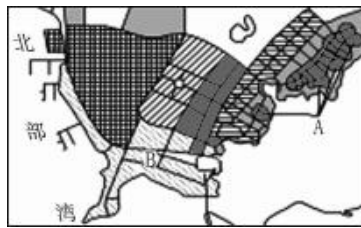


图 1-2-13

8. 一类工业区适宜大力发展的工业部门及其优势条件分别是 ( )

- A. 钢铁、石油化工, 海运便利
- B. 制糖工业, 靠近甘蔗产地
- C. 劳动力密集型产业, 员工通勤便利
- D. 高科技产业, 环境优美, 交通便利

9. 图中 A、B 两地分别适宜建设 ( )

- A. 商业中心、高级住宅区
- B. 高级住宅区、商业中心
- C. 高级住宅区、物流仓储区
- D. 物流仓储区、商业中心

读美国本土农业分布图(图 1-2-14), 完成 10~11 题。

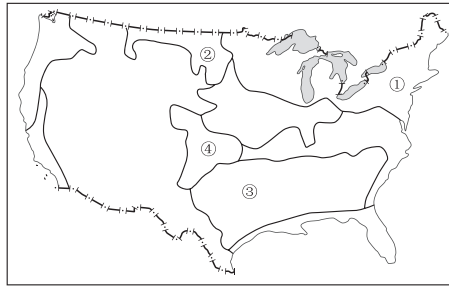


图 1-2-14

10. 图中①地区农业带是 ( )

- A. 乳畜带
- B. 玉米带
- C. 春小麦带
- D. 混合农业带

11. 图中数字代表的四个地区, 主要粮食作物和农业地域类型与我国松嫩平原大体相同的是 ( )

- A. ①
- B. ②
- C. ③
- D. ④

一位去巴厘岛的游客在游记中写道:“在乌布行走, 常能看到随山势修筑的层层稻田, 错落有致……走着走着, 便会毫无预兆地遭遇一场阵雨, 于是便在路旁的亭子里停下来听雨、赏雨, 看到路边石缝中‘吱吱’地冒热气……”图 1-2-15 为巴厘岛水系分布图。据此完成 12~14 题。

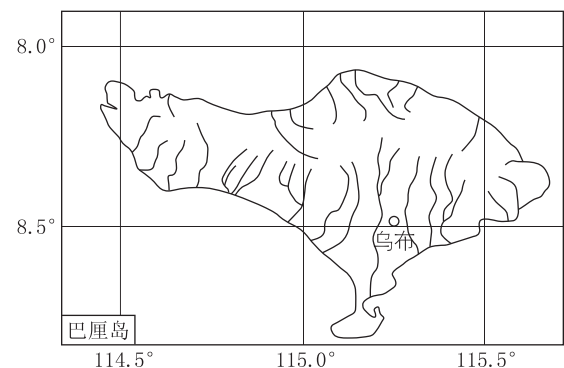


图 1-2-15

12. 影响乌布稻田分布的主导自然条件是 ( )

- A. 河网密布
- B. 土壤肥沃
- C. 水热充足
- D. 地势平坦

13. 在乌布遭遇一场毫无预兆的阵雨的原因最有可能是当地 ( )

- A. 对流活动强烈
- B. 台风活动频繁
- C. 西南季风强盛
- D. 受东北信风控制

14. 路边石缝中“吱吱”地冒热气, 其主要原因可能是 ( )

- A. 纬度低, 太阳辐射强, 光照足
- B. 沿岸有暖流经过, 增温作用明显
- C. 以平原为主, 海拔低, 气温高
- D. 位于板块交界处, 地壳运动活跃

2019 年 4 月 1 日, 济南首条地铁——轨道交通 1 号线正式开通, 筹建地铁二十年的“泉城”终于进入了地铁时代。读济南市地铁线路规划简图(图 1-2-16), 完成 15~16 题。

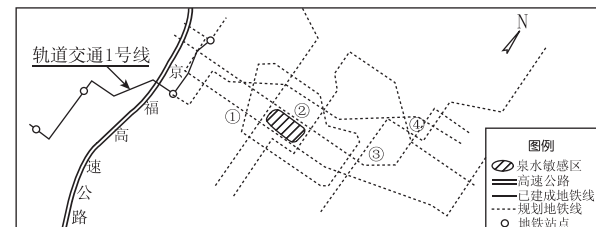


图 1-2-16

15. 济南市现有的高铁枢纽站最可能位于图中 ( )

- A. ①
- B. ②
- C. ③
- D. ④

16. 济南首条地铁线选在城区外围的主要原因是 ( )

- ①节约城市用地
- ②引导城市空间“西进”发展
- ③为保护泉水积累经验
- ④外围客流量大

- A. ①②
- B. ②③
- C. ③④
- D. ②④

### 方向3 过程示意图

#### 典题示范

1994年,我国M公司(服装企业)在浙江温州成立,发展过程如图1-2-17所示。据此完成1~3题。

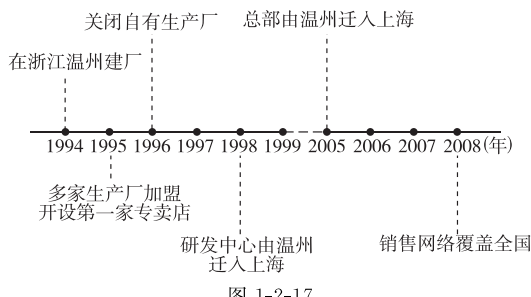


图1-2-17

- 1996年,M公司关闭自有生产厂,主要是为了 ( )  
A. 提高附加值 B. 降低人工成本  
C. 缩小规模 D. 加强合作
- M公司依次将研发中心和总部迁入上海,主要是因为上海 ( )  
A. 基础设施好 B. 交通便利  
C. 销售市场大 D. 信息通达
- 从发展过程看,M公司一直致力于 ( )  
A. 打造自主品牌 B. 扩大生产规模  
C. 生产款式多样的产品 D. 增强国际影响

#### 判读思路

地理过程示意图是反映地理事物的时间、空间变化过程及规律的图形。常见的图形有我国东部雨带推移示意图、水循环示意图、河流径流变化示意图、岩石圈物质循环示意图、城市化过程示意图、世界人口增长示意图等。解读该类示意图的一般步骤是：

第一步,了解图意,进行图文转换,从图中获取有用信息。

第二步,根据图中箭头指向、数据或曲线变化规律推断其变化趋势。

第三步,联系相关知识进行分析,掌握图示地理事物的时空变化规律。

#### 规范演练

阿雷格里港市是巴西南部大西洋沿岸重要的港口和圣保罗以南最大的城市。19世纪以来,由于德国和意大利移民大量迁入,其腹地发展成为发达的农牧区,随之发展为谷物、葡萄、畜产品、烟草、木材等农牧产品的集散地和加工中心,至今农牧业在巴西仍占据重要地位。该市附近煤炭资源丰富,20世纪20年代以后,工业发展迅速,成为巴西最大的工业城市之一。图1-2-18示意阿雷格里港市经济发展过程。据此完成1~3题。



图1-2-18

- 19世纪以来,阿雷格里港市腹地农牧业始终在巴西占据重要地位,其具有的社会经济条件是 ( )  
A. 周边邻国多,农产品需求量大  
B. 阿雷格里港市为重要港口城市,对外交通便利  
C. 德国、意大利移民大量迁入,劳动力多  
D. 发展历史悠久,生产技术先进
  - 阿雷格里港市工业体系建立的基础条件是 ( )  
A. 丰富的矿产资源和大量农牧产品  
B. 四通八达的交通和高素质劳动力  
C. 众多的消费人口和广阔的消费市场  
D. 优良的投资环境和政府大力支持
  - 近年来,阿雷格里港市大力发展金融、通信、咨询和信息产业的主要目的是 ( )  
A. 淘汰落后低端产业,升级产业结构  
B. 增加就业岗位,提高城市居民收入  
C. 减轻环境污染,美化、净化城市环境  
D. 优化产业结构,为城市发展注入新活力
- 重庆某汽车股份有限公司是我国第一家运用机器设备进行生产的企业。图1-2-19示意该汽车企业部分发展过程。据此完成4~6题。
- 该图展示了重庆某汽车企业在不同国家和地区的拓展情况：

  - 1958年5月：生产出第一辆某型吉普车样车
  - 1984年11月：生产出中国第一批小汽车
  - 1996年11月：完成从军工到民用领域的拓展
  - 2006年：成立意大利设计中心
  - 2018年：美国底特律和“硅谷”建立起“九地”各有侧重的全球协同研发格局
4. 1996年该汽车企业完成从军工到民用的领域拓展,主要是为了 ( )  
A. 提高产品质量  
B. 提高企业利润  
C. 降低生产成本  
D. 扩大生产规模
  5. 该汽车企业在意大利成立的设计中心最可能进行 ( )  
A. 核心零部件设计  
B. 发动机设计  
C. 新能源技术研发  
D. 车身造型开发
  6. 该汽车企业建立全球协同研发格局的主要目的是 ( )  
A. 加强国际合作  
B. 推动产品多样化  
C. 促进产品升级  
D. 加速产业转移
- 图1-2-20为我国黑龙江省某地冻土融化过程示意图。读图回答7~8题。
7. 图中①②③分别表示 ( )  
A. 无冻期、冻结期、融冻期  
B. 无冻期、融冻期、冻结期  
C. 融冻期、无冻期、冻结期  
D. 融冻期、冻结期、无冻期

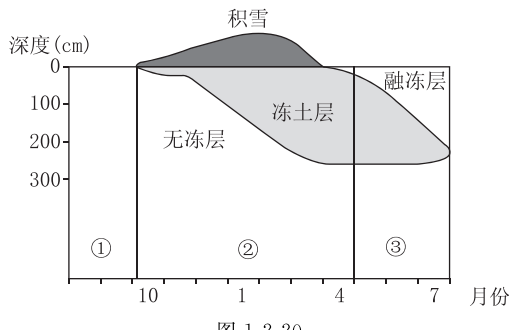


图 1-2-20

8. 下列有关该地冻土融化过程的说法，正确的是 ( )

- A. 1月至2月期间该地冻土层达到最厚
- B. 冻土从开始融化到全部融化约需180天
- C. 冻土冻结深度的增长为先变慢后变快
- D. 气温高低和农事活动对融化速度影响较大

曼彻斯特地处艾威尔河东岸，周围地区煤、铁资源丰富，水陆交通发达，很早就成为集市，是英国最早的工业城市之一，其发展历程如图 1-2-21 所示。读图完成 9~11 题。



图 1-2-21

9. 16世纪以前，曼彻斯特纺织业生产活动主要联系 ( )

- A. 欧洲大陆弗兰德尔
- B. 城市周边乡村地区
- C. 北海沿岸各大港口
- D. 煤炭和铁矿开采区

10. 18世纪70年代开始，曼彻斯特许多纺纱厂和织布厂沿艾威尔河而建，主要原因是此处 ( )

- A. 基础设施完善
- B. 人口分布密集
- C. 水运价格便宜
- D. 水力资源丰富

11. 18世纪80年代后，多家棉纺厂在曼彻斯特建厂会 ( )

- ①改变城市空间结构
  - ②扩大城市服务范围
  - ③促进城市环境改善
  - ④促进城市功能分区
- A. ①②③
  - B. ①②④
  - C. ②③④
  - D. ①③④

图 1-2-22 两幅图为废黄河三角洲演变模式图，图甲为黄河流经时三角洲演变图，图乙为黄河改道后三角洲演变图。读图，回答 12~13 题。

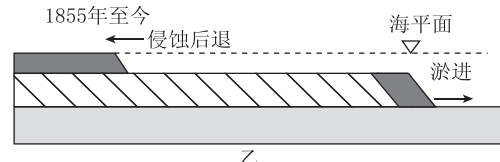
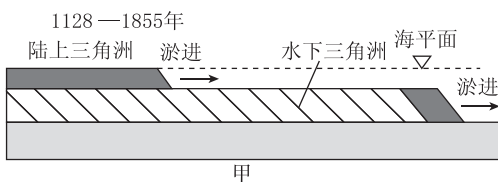


图 1-2-22

12. 若图甲所示时期黄河三角洲处于淤积加速阶段，其原因可能是 ( )

- A. 黄土高原水土流失减轻
- B. 黄河的径流量不断变小
- C. 黄河河口流速变快
- D. 黄河流域植被覆盖率下降

13. 造成图乙时期陆上三角洲遭侵蚀后退的外力作用是 ( )

- A. 流水侵蚀作用
- B. 冰川侵蚀作用
- C. 风力侵蚀作用
- D. 海浪侵蚀作用

反向沙丘是指在相反方向风作用下形成的沙丘，一般具有两个落沙坡，分别对应两个风向。其形态演化过程包括 3 个阶段，即横向沙丘阶段（主风向控制）、过渡态阶段（主风向和反风向相当）和反向沙丘阶段（反风向控制）。腾格里沙漠东南缘是我国反向沙丘的典型分布区域。图 1-2-23 甲示意腾格里沙漠的位置，图 1-2-23 乙示意反向沙丘形态演变。据此完成 14~15 题。

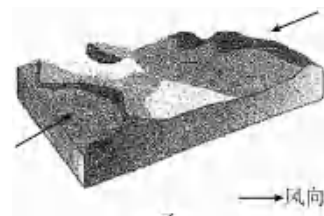
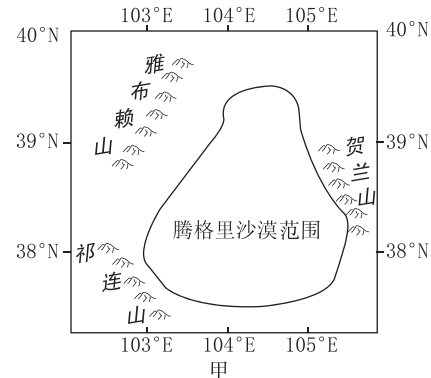


图 1-2-23

14. 腾格里沙漠反向沙丘对应的两个风向可能为 ( )

- A. 西南风和东北风
- B. 西北风和东南风
- C. 西北风和东北风
- D. 西南风和东南风

15. 推断腾格里沙漠可观测到反向沙丘的时间为 ( )

- A. 12月至次年2月
- B. 3月至5月
- C. 6月至8月
- D. 9月至11月

## 方向2 原理及关联示意图

### 典题示范

我国人口众多,生活垃圾产生量巨大,迫切需要对垃圾进行无害化、资源化处理。近些年,某企业开发了厨余垃圾自动处理系统,并在全国很多城市推广。图1-2-24示意该厨余垃圾自动处理系统的主要工艺流程。据此完成1~2题。

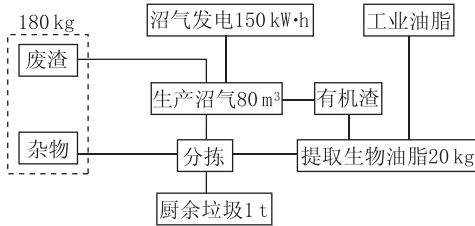


图1-2-24

1. 厨余垃圾是图示自动处理系统中的 ( )  
A. 废料 B. 原料  
C. 能源 D. 产品
2. 符合图示自动处理系统局部工艺流程的是 ( )  
A. 废渣→生产沼气→沼气发电  
B. 工业油脂→提取生物油脂→有机渣  
C. 有机渣→生产沼气→废渣  
D. 生产沼气→有机渣→提取生物油脂

### 判读思路

地理原理及关联示意图是反映地理事象的成因、原理和规律的图,常见的有地球公转示意图、太阳光照示意图、大气环流示意图、气旋与反气旋形成示意图、季风成因示意图、台风示意图、地震构造示意图、背斜和向斜示意图、城市工业布局示意图等。解读该类示意图的一般步骤是:

- 第一步,识别图中所表示的是何种地理事象联系过程。
- 第二步,根据图中箭头方向、线段的纵横关系等提取信息。

第三步,弄清事象的形成或变化过程,判断各因素之间的联系。

### 规范演练

2018年,美国著名咖啡公司X公司推出了一款产自中国云南的高端品牌咖啡豆。图1-2-25为该款咖啡豆的生产流程图。读图,回答1~2题。

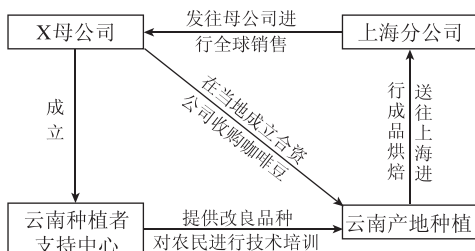


图1-2-25

1. X母公司与上海分公司的产业联系属于 ( )  
A. 生产协作  
B. 商贸联系  
C. 科技与信息联系  
D. 投入—产出联系

2. X公司成立云南种植者支持中心主要是为了改善当地的 ( )  
A. 水热条件  
B. 土壤条件  
C. 生产技术  
D. 技术装备

图1-2-26反映了某国自然地理环境的整体性和差异性。据此回答3~4题。

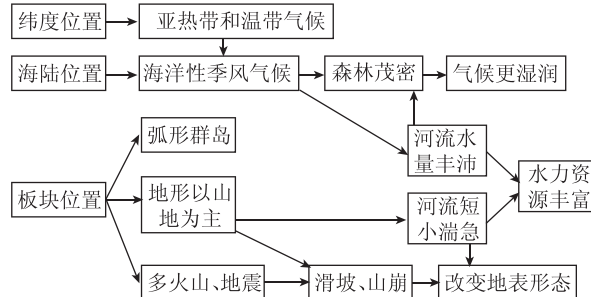


图1-2-26

3. 该国最有可能是 ( )  
A. 中国  
B. 日本  
C. 埃及  
D. 新西兰
4. 该国自然环境的地域分异规律主要表现为 ( )  
A. 纬度地带性和经度地带性  
B. 经度地带性和非地带性  
C. 纬度地带性和垂直地带性  
D. 纬度地带性和整体性

“二月灰霾,三月风沙,四月柳絮,五月杨树毛儿”是北京春季常见的地理现象。图1-2-27为不同性质气团运动模式图。完成5~6题。

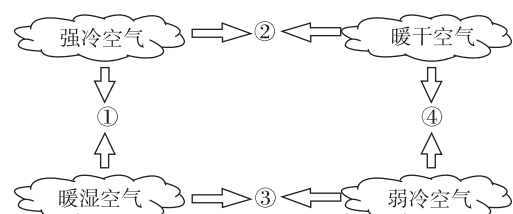


图1-2-27

5. 图示四种气团运动情况中,最有可能引发北京三月风沙天气的是 ( )  
A. ①  
B. ②  
C. ③  
D. ④
6. 四月柳树吐絮,五月杨树飞毛儿,说明柳树和杨树原产地的自然带是 ( )  
A. 亚热带常绿阔叶林带  
B. 亚寒带针叶林带  
C. 亚热带常绿硬叶林带  
D. 温带落叶阔叶林带

图 1-2-28 为某区域某季节高空某等压面高程分布示意图。完成 7~8 题。

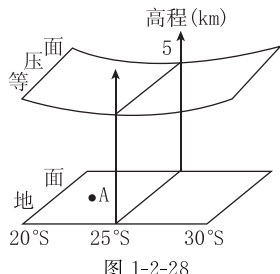


图 1-2-28

7. 据图判断, A 地此时近地面的风向最可能为 ( )

- A. 东南风
- B. 西北风
- C. 东北风
- D. 西南风

8. 关于图中气压带, 叙述正确的是 ( )

- A. 当地夏季北移, 冬季南移
- B. 主要成因是动力因素
- C. 主要成因是热力因素
- D. 冷暖气团相遇抬升形成

图 1-2-29 为我国某区域循环经济产业链示意图。读图回答 9~10 题。

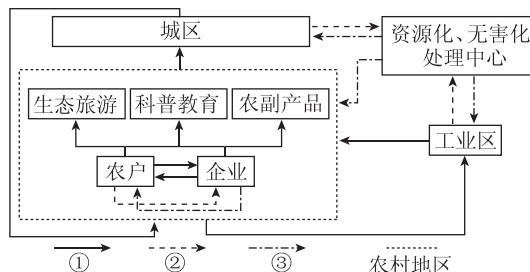


图 1-2-29

9. 图中①②③分别代表 ( )

- A. 产品流、废弃物流、再生资源流
- B. 废弃物流、产品流、再生资源流
- C. 产品流、再生资源流、废弃物流
- D. 再生资源流、废弃物流、产品流

10. 该区域循环经济产业链可以 ( )

- A. 使资源与能源在该区域内不断循环使用
- B. 构建城市和乡村之间共生的循环经济体系
- C. 改变农业耕作制度, 有效地利用土地资源
- D. 实现以经济效益为核心的区域可持续发展

图 1-2-30 为我国南方某山村发展模式示意图。读图, 完成 11~12 题。

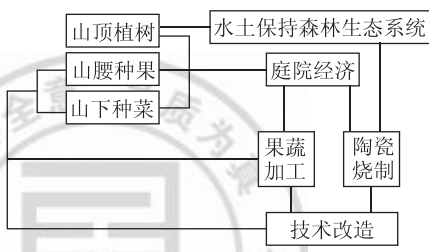


图 1-2-30

11. 该地果菜种植与果蔬加工之间体现的产业活动地域联系方式主要是 ( )

- A. 生产协作
- B. 商贸联系
- C. 科技联系
- D. 信息联系

12. 当地采用该发展模式, 主要有利于 ( )

- ①改善水热条件
- ②减缓全球变暖
- ③减轻水土流失
- ④保持土壤肥力

- A. ①②
- B. ①③
- C. ②④
- D. ③④

图 1-2-31 为部分洋流模式图。完成 13~14 题。

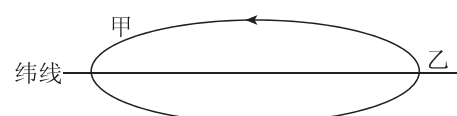


图 1-2-31

13. 根据洋流流向判断, 图示洋流可能属于 ( )

- ①北印度洋夏季洋流
- ②北半球副热带环流
- ③北半球副极地环流
- ④南半球副热带环流

- A. ①②
- B. ②③
- C. ③④
- D. ①④

14. 若该洋流位于南太平洋, 则甲、乙处洋流对地理环境的影响可能是 ( )

- A. 甲处寒暖流交汇形成渔场
- B. 甲附近形成了热带沙漠气候
- C. 乙处因上升流形成大渔场
- D. 乙附近降水普遍多于甲附近

桑沟湾是位于山东半岛最东端的一处海湾, 这里是我国最早人工养殖海带的地方。近年来, 我国某水产研究所的科研人员在此成功探索出了海带、鲍鱼和海参三者混合养殖的新模式(见图 1-2-32)。据此, 完成 15~17 题。

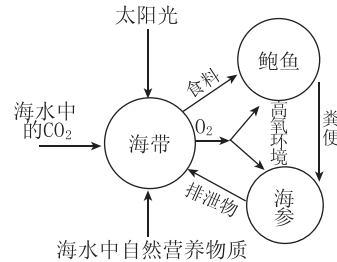


图 1-2-32

15. 桑沟湾由单一的海带养殖到海带、鲍鱼、海参三者混合养殖的变化, 主要得益于 ( )

- A. 优质的海洋环境
- B. 养殖技术的进步
- C. 市场需求的升级
- D. 保鲜技术的出现

16. 与单一养殖相比, 该混合养殖模式的突出优点是 ( )

- ①节省饵料投放, 提高经济效益
- ②吸收海水中的 CO<sub>2</sub>, 减缓全球变暖
- ③可灵活调整生产规模, 市场适应性强
- ④改善水质, 减少海洋养殖污染

- A. ①②
- B. ①④
- C. ②③
- D. ③④

17. 冬季, 农户们常将鲍鱼和海参送往福建和广东沿海养殖, 其最主要目的是 ( )

- A. 靠近消费市场
- B. 获得优惠补贴
- C. 躲避大风、暴雪
- D. 缩短养殖周期

# 类型3 景观图判读型

## 方向1 自然景观图

### 典题示范

北京时间2018年10月23日10时,港珠澳大桥开通仪式在广东省珠海市举行。图1-3-1为当日某记者拍摄的港珠澳大桥日落照片。读图回答1~2题。



图1-3-1

1. 拍摄照片时,相机镜头的朝向是( )  
A. 西北 B. 西南  
C. 东南 D. 东北
2. 港珠澳大桥开通仪式举行时,新加坡( $1^{\circ}\text{N}, 104^{\circ}\text{E}$ )还需多长时间迎来日出( )  
A. 约21个小时 B. 约9个小时  
C. 约20个小时 D. 约3个小时

### 判读思路

自然景观图类型多样,如地质地貌景观图、气象气候景观图、生物群落景观图等,一般用来表现区域的综合地理事物和现象。自然景观图的一般判读思路如下。

1. 根据题干和图像信息,准确判断景观图表示何种自然地理事象。
2. 分析景观图中自然地理要素的特征和相互关系,即图中信息的地理意义。
3. 根据自然景观图中的信息,提取与设问相关的内容,联系有关知识作答。其思路如下所示:

空间定位→分析景观指示的自然环境特征→分析自然景观形成的原因→归纳规律→分析人类的利用改造。

### 规范演练

逆光拍照可使被拍摄物显出有光的轮廓,达到丰富层次、增加立体感的艺术效果,因而成为人们喜爱的一种拍摄手段。2017年冬季,某一摄影爱好者在张家口坝上旅游景区逆光拍摄了一幅照片(如图1-3-2所示)。据此完成1~3题。



图1-3-2

1. 摄影爱好者拍摄此照片的时间大约是( )  
A. 7:30 B. 10:30  
C. 12:30 D. 18:30
2. 若图中为日出后景观,则摄影爱好者位于照片中的这一片树林的( )  
A. 西北方向 B. 东南方向  
C. 西南方向 D. 东北方向
3. 若夏季,摄影爱好者再来此地拍摄一幅与该照片逆光效果相同的照片,则拍摄的时刻比冬季( )  
A. 早晨晚 B. 黄昏晚  
C. 晨昏均早 D. 晨昏均晚

图1-3-3中,甲为长白山望天鹅景区一角,乙为内蒙古呼伦贝尔草原,丙为塔克拉玛干沙漠。读图完成4~5题。



图1-3-3

4. 甲—乙—丙地区自然景观的变化体现的自然带分异规律是( )

- A. 纬度地带分异规律 B. 干湿度地带分异规律  
C. 地方性分异规律 D. 垂直分异规律

5. 这种分异规律最明显的地区是( )

- A. 北半球低纬度地区 B. 北半球中纬度地区  
C. 北半球高纬度地区 D. 南半球低纬度地区

在高纬度地区或高海拔地区,湖泊在冬季会产生一种冰泡奇观,气体被“冻”在湖面的冰层中,形成形态各异的冰冻气泡。加拿大亚伯拉罕湖的冰泡景观灵动壮美。读冰泡景观形成示意图(图1-3-4)和亚伯拉罕湖位置示意图(图1-3-5),完成6~7题。

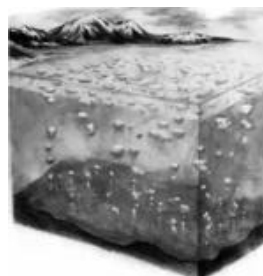


图1-3-4



图1-3-5

6. 冰泡湖中气泡内气体的成因可能是( )

- A. 水草呼吸产生的气体  
B. 湖泊中人工生成的气体  
C. 湖底岩层断裂上升的气体  
D. 湖泊底部微生物分解大量腐殖质产生气体

7. 亚伯拉罕湖的冰泡景观的成因有( )

- ①冬季降温速度快 ②多大风,冰面积雪多 ③湖水清澈见底,透明度高 ④大坝的建造使湖水相对静止

- A. ①②③ B. ①②④  
C. ①③④ D. ②③④

读塔里木盆地荒漠化发展地区分布示意图(图1-3-6,阴影部分表示荒漠化发展地区),回答8~9题。

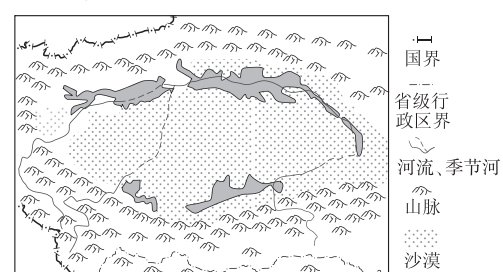


图1-3-6

8. 近几十年来,该地区荒漠化速度加快的最主要原因是( )

- A. 气候干旱,降水稀少
- B. 工业化和城市化的迅速发展
- C. 人类不合理的生产、生活活动
- D. 大量开采铁矿和有色金属矿,破坏植被

9. 在图 1-3-6 所示地区铁路沿线设置草方格沙障(见图 1-3-7),其主要生态功能是( )

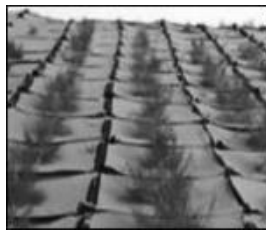


图 1-3-7

①截留水分 ②改变气候类型 ③削弱风力 ④改变植被类型

- A. ①②
- B. ②④
- C. ③④
- D. ①③

桌状山是顶平似桌面、四周被陡崖围限的方形山体。大瓦山位于四川省乐山市、横断山脉东侧,海拔 3236 米,高出东面的顺水河谷 1800 多米,高出南面的大渡河水面 2600 多米,为世界第二桌状山。大瓦山是地形倒置的向斜山,山体分两层:下部是构成山体基底的石灰岩,上部是层层堆叠的玄武岩。完成 10~12 题。



图 1-3-8

10. 大瓦山桌状地貌的大致形成过程是( )

- A. 沉积作用—板块挤压—褶皱断层—岩浆喷出活动—断块抬升
- B. 板块挤压—岩浆侵入活动—地壳抬升—周边岩层被侵蚀、搬运
- C. 板块挤压—褶皱断层—地壳下陷—沉积作用—地壳抬升
- D. 褶皱断层—岩浆喷出活动—断块下沉—外力沉积形成石灰岩

11. 大瓦山形成过程中,若玄武岩层和石灰岩层的上下位置颠倒一下,呈现的地貌最可能是( )

- A. 依然是桌状山
- B. 起伏和缓的丘陵
- C. 沉积层深厚的盆地
- D. 峰林、峰丛广布

12. 大瓦山山顶自然带是( )

- A. 常绿阔叶林带
- B. 硬叶林带
- C. 针叶林带
- D. 冰川带

在准噶尔盆地西北部边缘山前地带,有一奇特地貌区,当地人称其为龙脊谷。龙脊谷的核心地貌是距今 2 亿年前不同的砂岩与泥岩互层构成的。这里起伏的垄和槽相间分布,高差 5~10 米,走向为东北—西南,出露的岩层近似垂直于地面,其中的垄状如龙脊。图 1-3-9 为游客拍摄的龙脊谷照片。据此完成 13~14 题。

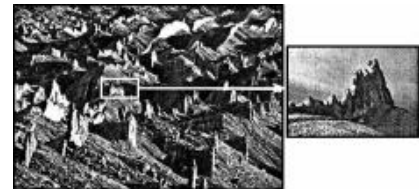


图 1-3-9

13. 推测 2 亿年前,该地区地势( )

- A. 起伏和缓
- B. 陡峭高峻
- C. 低洼积水
- D. 平坦广阔

14. 当地的岩层之所以近似垂直于地面,是因为( )

- A. 岩层性质差异
- B. 岩块断裂上升
- C. 岩浆向上喷发
- D. 岩层挤压隆起

树木涂白是指用涂白剂(主要成分是生石灰和硫黄等)将树干涂成白色,是树体保护的一项重要措施,它既可以消灭越冬害虫和病菌,也可以防止日灼病,同时还能推迟春季树木萌芽期,躲避晚霜冻害。据此完成 15~16 题。



图 1-3-10

15. 树木涂白的作用主要是( )

- ①美化环境 ②防冻保温 ③杀虫杀菌 ④增大气温日较差 ⑤减小气温日较差
- A. ①②④
- B. ①②⑤
- C. ②③④
- D. ②③⑤

16. 我国东部季风区树木涂白的时期( )

- A. 为隆冬
- B. 为初春
- C. 南方早于北方
- D. 北方早于南方

在挪威斯瓦尔巴群岛海边的山坡上,零星地分布着一些与当地基岩岩性完全不同的大砾石,见图 1-3-11。据此完成 17~18 题。

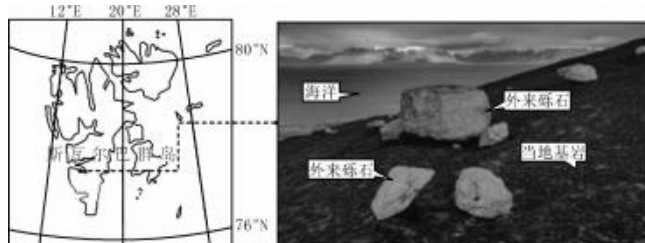


图 1-3-11

17. 导致这些砾石出现在该处的外力是( )

- A. 海浪
- B. 风力
- C. 流水
- D. 冰川

18. 当地现今的气候与该处刚出现这些砾石的地质时期相比,最确定的变化是( )

- A. 变冷
- B. 变暖
- C. 变干
- D. 变湿

## 典题示范

天津广播电视台(简称“天塔”)高度约415米。读图文材料,回答1~2题。



图1-3-12



图1-3-13

1. 拍摄到该照片的时间(北京时间)最可能介于 ( )  
A. 5:00—7:00      B. 8:00—10:00  
C. 12:00—14:00      D. 15:00—17:00
2. 拍摄到该照片的日期最可能介于 ( )  
A. 1月15日到2月15日  
B. 3月1日到3月30日  
C. 5月15日到6月15日  
D. 10月1日到10月30日

## 判读思路

人文景观图类型多样,如聚落景观图、农业景观图、工业景观图、民族风情景观图等;根据获得景观图的技术手段,可分为摄影图、素描图、卫星影像图等。人文景观图一般表现局部单一地理事物和现象。人文景观图的一般判读思路如下。

1. 根据题干图像信息,准确判读人文景观图表示何种地理事象。
2. 分析人文景观图中地理要素的特征和相互关系,即图中信息的地理意义。
3. 根据人文景观图中的信息,提取与设问相关的内容,联系有关知识作答。其思路如下所示:

空间定位→分析景观所在地的环境特征→分析景观的功能及随时代的变化特点→了解当地人文特征→分析区位及影响。

## 规范演练

2018年8月,荷兰建造了世界首个“漂浮农场”,它漂浮在鹿特丹港海面上,吃水深度约1.5米,有走廊与陆地连接(如图1-3-14)。“漂浮农场”分为上下两层,上层顶部装有太阳能光伏电池板,其他四面为透明玻璃墙。上层为奶牛放养区,下层有牧草区(采用无土栽培及LED照明控温种植技术)、牛奶生产区、牛排泄物处理区等。据此回答1~3题。



图1-3-14

1. 建造“漂浮农场”的最基本条件是当地拥有 ( )  
A. 宽阔的较深水域      B. 先进的技术水平  
C. 充足的光照条件      D. 便捷的交通运输

2. 荷兰政府鼓励发展“漂浮农场”的首要目的是 ( )  
A. 节省劳动力      B. 促进生态循环  
C. 缓解土地紧缺      D. 应对全球变暖
3. 与荷兰的天然牧场相比,“漂浮农场”生产的突出优势是 ( )  
A. 投入成本更低      B. 受季节变化较小  
C. 产品质量更优      D. 对环境没有污染

水车亦称“翻车”“踏车”,主要由木槽、刮水板、轮轴和木链构成,是我国古代劳动人民发明的一种能引水灌溉和排水的农具。最初的是水车(见图1-3-15)是用人力转动的,长约3米,后来出现了利用畜力、风力、水力等转动的多种水车。从汉朝至20世纪70年代,水车流行于我国大部分地区,目前仅在博物馆或个别乡村可见。据此完成4~6题。



图1-3-15

4. 从汉朝至20世纪70年代,水车流行于我国大部分地区,是因为其能 ( )  
A. 减少水利工程的修建      B. 扩大和保障耕种规模  
C. 使农耕摆脱水源制约      D. 提高农产品的商品率
5. 图示水车曾广泛适用于我国 ( )  
A. 地势起伏和缓的平地      B. 洪涝频发的湖沼地  
C. 地势起伏较大的山区      D. 干旱缺水的垦荒地
6. 20世纪70年代后水车在我国逐步消失,主要是因为我国 ( )  
A. 种植结构的调整  
B. 水资源跨区域调配  
C. 耐旱稻种的推广  
D. 农业机械化水平的提升

木拱廊桥(如图1-3-16)是“桥上建廊,以廊护桥,桥廊一体”的特殊桥梁,建好后用生桐油上漆。汛期时人们往往在桥面置放沙袋、条石等以增加桥身重量。浙西南山区庆元县现存廊桥数量最多,被誉为“中国廊桥之乡”。读图完成7~9题。



图1-3-16

7. 庆元县木拱廊桥数量众多,反映当地的环境特点是 ( )  
A. 溪流纵横      B. 山高谷深  
C. 梯田云海      D. 雨林茂盛
8. 木拱廊桥中廊屋的主要作用是 ( )  
①保温挡风    ②遮阳避雨    ③防洪拦沙    ④稳固桥体  
A. ①②      B. ②③  
C. ②④      D. ③④
9. 木拱廊桥建好后采用生桐油上漆的主要目的是 ( )  
A. 统一色调      B. 固定桥体  
C. 美化外观      D. 防水防腐

某城市位于嘉陵江畔的轨道交通2号线李子坝车站，是国内第一座与商住楼共建共存的跨座式单轨高架车站，因列车在半空中穿楼而过而成为网红车站（图1-3-17）。如今，每天约有近万人到此参观游览。据此回答10~12题。



图1-3-17

10. 图中轻轨列车采用穿楼而过的建筑设计，主要是因为该城市（）

- A. 经济发展水平高，科技力量雄厚
- B. 轻轨与住宅都需要沿江而建
- C. 人文旅游资源较少，旅游吸引力差
- D. 为山地地形，建筑用地紧张

11. 李子坝站近年来游客数量猛增，严重影响了车站附近的交通秩序和人们的出行安全，最好的解决措施是（）

- A. 增加李子坝站的列车班次，减少高峰时段游客数量
- B. 建设观景平台，规范交通秩序
- C. 采取高峰时段限流措施，缓解交通压力
- D. 增设旅游专线，设计不停车游览项目

12. 当地铁或轻轨的线路设计遇到住宅等对噪声敏感目标时，可以采取措施的优先顺序是（）

- ①房屋功能置换 ②采取轨道减振措施 ③优化轨道线路 ④房屋拆迁
- A. ①②③④      B. ②①④③  
C. ③①②④      D. ③②①④

“棒棒军”是指以竹棒和绳索为劳动工具，在城市爬坡上坎、流动揽活，专门为市民日常生活、商业活动提供零星搬运劳务服务的人。“棒棒军”群体的工作形式不同于其他的打工族，更不同于城市工矿企业的工人。他们主要活动于街头、菜市场、汽车站、码头、家电商场等，承担了城市人不愿意干的以苦、脏、累、险为特征的工作。据此完成13~15题。



图1-3-18

13. “棒棒军”最可能出现的城市是（）

- A. 深圳      B. 成都
- C. 兰州      D. 重庆

14. “棒棒军”在20世纪80年代末90年代初开始流行起来，其原因可能是（）

- ①农村经济体制的改革 ②城乡收入差距 ③对从业者的素质要求高 ④农村生态环境变差 ⑤农村人地矛盾尖锐 ⑥该城市独特的地形
- A. ①②③④      B. ①②⑤⑥  
C. ②③④⑤      D. ③④⑤⑥

15. 随着社会经济的发展，“棒棒军”正逐步消失，其可能原因是（）

- ①国家户籍制度改革 ②“棒棒军”工作环境差，收入少 ③交通运输方式的改进 ④装卸、运输机械化 ⑤城市生活成本高 ⑥劳动力不足
- A. ①②③④      B. ①②⑤⑥  
C. ②③④⑤      D. ③④⑤⑥

2017年5月，重庆南岸区的黄桷湾立交正式完工。这座立交桥的匝道分为5层15匝道，连接8方向，将朝天门长江大桥、慈母山隧道两大交通工程连在一起，让市民从茶园到江北车行只需10多分钟，比原来节省25分钟。图1-3-19为黄桷湾立交高架桥示意图。据此回答16~17题。



图1-3-19

16. 重庆市修建高架桥的主要作用是（）

- A. 改善交通状况，调整能源结构
- B. 提高生活水平，美化城市环境
- C. 降低城区地价，增加绿化面积
- D. 提高用地效率，加大通行能力

17. 建桥的同时，市民也发出对高架桥的批评之声，其原因可能有（）

- ①桥面上行人与公交通行不便 ②沿线居民饱受噪声干扰 ③高架桥安全性差 ④高架桥占地广、成本高 ⑤影响沿线建筑采光
- A. ①②⑤      B. ①③⑤      C. ②③④      D. ②④⑤

图1-3-20为云南怒江中游福贡县（ $26^{\circ}54'N, 98^{\circ}52'E$ ）的传统民居千脚落地房图。在斜坡或靠山处竖立的几十根木桩，像千百只脚一样，支撑着整个房屋。每年12月到次年1月为最佳建房时间。据此完成18~20题。



图1-3-20

18. 房屋“千脚落地”是对当地自然环境特征的适应，该特征主要是（）

- A. 雨水丰富      B. 闷热潮湿
- C. 岩层破碎      D. 坡面较陡

19. 每年12月到次年1月为千脚落地房最佳建房时间，主要原因是（）

- A. 晴天较多，利于施工
- B. 适宜伐木，建材丰富
- C. 农闲时节，时间充足
- D. 坡体稳定，便于打桩

20. 北京时间12:00时，该地被阳光照射的木桩影子指向（）

- A. 东北方向      B. 西北方向
- C. 正南方向      D. 正北方向

图1-3-21为我国东南沿海某省级行政中心城市某小区路面景观图，该小区多为7层楼老式建筑。读图，回答21~22题。



21. 该小区（）

- A. 人口出生率较高
- B. 人口死亡率较高
- C. 人口自然增长率较高
- D. 人口机械增长率较高

图1-3-21

22. 若对该小区进行改造，下列措施合理的是（）

- ①增加电梯等方便上下楼设施 ②增加地面停车位，便于通勤 ③增设紧急医疗服务点 ④增加儿童游乐设施
- A. ①②      B. ②③      C. ②④      D. ①③

## 类型4 统计图表判读型

### 方向1 表格

#### 典题示范

地处黄土高原的汾川河流域多年来植被覆盖率大幅度提高。2013年7月,汾川河流域降水异常增多。下表为当月6次降水过程的时长、降水量和汾川河洪峰情况。第5次降水形成的洪水含沙量低,第6次降水形成的洪水含沙量极高。据此完成1~3题。

| 降水序号 | 降水历时(天) | 降水量(mm) | 汾川河洪峰情况                    |
|------|---------|---------|----------------------------|
| 1    | 2       | 53.0    | 无明显洪峰                      |
| 2    | 4       | 80.3    | 无明显洪峰                      |
| 3    | 5       | 100.1   | 无明显洪峰                      |
| 4    | 2       | 73.2    | 无明显洪峰                      |
| 5    | 2       | 90.7    | 洪峰流量346 m <sup>3</sup> /s  |
| 6    | 2       | 54.4    | 洪峰流量1750 m <sup>3</sup> /s |

1. 汾川河流域植被覆盖率大幅度提高能够 ( )  
A. 减小降水变率 B. 减少河水含沙量  
C. 增加降水量 D. 加大河流径流量
2. 第5次降水产生洪峰的原因是此次降水 ( )  
①历时长 ②强度大 ③下渗少 ④植被截流少  
A. ①② B. ②③ C. ③④ D. ①④
3. 第6次降水产生的洪水含沙量极高,其泥沙主要源于 ( )  
A. 河床 B. 沟谷  
C. 裸露坡面 D. 植被覆盖坡面

#### 判读思路

地理统计表格是地理统计信息资料的分类列表展示形式。解答统计表格判读型题目要注意以下几点:

1. 认清表名及不同表格项目所表示的要素和内容。
2. 抓主线要素,综合分析地理规律。表格题中虽然展示了多项地理要素,但是有主次、轻重之分,主线要素往往体现了命题意图,是多项地理要素中的主要因素。
3. 对地理统计数据进行定性、定量分析。解读表格题重在认识表格统计内容中反映出的地理原理和地理规律,也就是从理性上做定性认识。大多数表格题直接可以观察分析出地理事象的强弱、大小和多少等规律变化。若题目要求再做定量计算,就必须整理数据、计算数据,形成对信息的数量或等级的定量认识,并进一步完成定性分析。解答表格题,是做定性、定量分析,还是仅做定性分析,因题而异,解题时要灵活掌握。
4. 注意对表格中的地理要素进行横向类比分析。类比分析地理事象的相同、相异、相反和相似点,可以更清楚地认识地理事象的共性,更深刻地认识地理事物的特点。

#### 规范演练

下表为我国甲、乙两山基带气象要素及雪线高度资料。读表,回答1~2题。

|        | 海拔(m)    | 甲山(海拔7782 m) |       | 乙山(海拔7435 m) |       |
|--------|----------|--------------|-------|--------------|-------|
|        |          | 南坡           | 北坡    | 南坡           | 北坡    |
| 基带气象要素 | 年均温(℃)   | 16.1         | 7.9   | 7.4          | 2.8   |
|        | 年降水量(mm) | 2276.6       | 512.1 | 96.1         | 519.2 |
|        | 雪线高度(m)  | 4750         | 5000  | 4350         | 3980  |

1. 据表中资料推断 ( )  
A. 甲山北坡相对高度大于南坡  
B. 甲山南坡的垂直带谱最丰富  
C. 乙山南坡的河流补给以大气降水为主  
D. 乙山的森林蓄积量大于甲山
2. 与乙山相比,甲山雪线分布特点形成的主导因素是( )  
①纬度位置 ②山体海拔高度 ③水汽来源方向 ④人类活动  
A. ①② B. ②③ C. ①③ D. ③④

下表为世界某著名工业城(区)的区位因素评价表,所在国政府直接介入该工业城(区)整个筹建过程。读表回答3~5题。

|         | 基本 | 重要 | 次要 | 无关 |
|---------|----|----|----|----|
| 接近市场    |    | ★  |    |    |
| 接近供应商   |    |    | ★  |    |
| 国际机场    | ★  |    |    |    |
| 国内机场    |    |    | ★  |    |
| 接近首都    |    | ★  |    |    |
| 接近海港    |    |    |    | ★  |
| 良好的道路网  | ★  |    |    |    |
| 通往首都的铁路 |    | ★  |    |    |
| 舒适的生活环境 | ★  |    |    |    |
| 文化娱乐设施  |    |    | ★  |    |
| 财政资助    |    |    | ★  |    |
| 大学支持    |    | ★  |    |    |
| 愉快的工作环境 | ★  |    |    |    |

3. 该工业城(区)最有可能是 ( )  
A. 德国鲁尔区 B. 意大利中部和东北部工业区  
C. 日本筑波 D. 印度班加罗尔
4. 该工业地域形成的原理是 ( )  
A. 该工业城(区)丰富的劳动力资源吸引了大量劳动力密集型企业  
B. 有投入一产出联系的工厂自发地在地理位置上相互接近  
C. 把生产上投入一产出联系密切的工厂布局在一起  
D. 在规划的用地上建设基础设施,吸引投资者开办企业

5. 与美国“硅谷”相比,该工业城(区)不具备的区位条件是( )

- A. 科技力量强      B. 环境优美  
C. 军事订货多而稳定      D. 高速交通方便

塔里木河是我国最大的内流河,其三条主要支流——阿克苏河、叶尔羌河与和田河沿岸绿洲是其流域内社会经济发展的重要场所。读图表资料,完成6~7题。



图 1-4-1

| 流域名称              |    | 阿克苏河流域 | 叶尔羌河流域 | 和田河流域 | 塔里木河下游区 |
|-------------------|----|--------|--------|-------|---------|
| 来水量( $10^8 m^3$ ) |    | 85.65  | 72.51  | 46.64 | 5.09    |
| 绿洲规模( $km^2$ )    | 现状 | 12 061 | 15 111 | 3591  | 1598    |
|                   | 适宜 | 11 600 | 9600   | 4400  | 823     |

6. 塔里木河下游区来水量明显小于三条支流的主要原因是( )

- A. 气候干旱,温度高,蒸发旺盛  
B. 砂质土壤,地表水下渗严重  
C. 支流及上中游沿岸绿洲大量引水  
D. 上中游跨流域调水工程的实施

7. 为促进塔里木河流域的可持续发展,应该( )

- ①实施全流域水资源的统一分配、管理 ②以水定地,确定各绿洲适宜发展规模 ③扩大和田河流域绿洲规模,发展经济 ④调整农业的生产结构,发展节水农业 ⑤全面实施退耕还林,保护其生态环境 ⑥在上游修建水库,增加下游区来水量

A. ①②⑤    B. ①②④    C. ②⑤⑥    D. ③④⑥

有学者指出,在世界新一轮产业升级中,“中国制造”竞争压力将增大。下表为全球制造业成本竞争压力变化的四种模式。完成8~9题。

| 模式   | 表现                                       | 典型国家                  |
|------|--|-----------------------|
| 面临压力 | 过去制造业成本低的经济体,由于各种原因竞争力削弱                 | 巴西、中国、捷克、波兰、俄罗斯       |
| 持续削弱 | 过去制造业成本高的经济体,由于生产低增长和能源成本提高,竞争力继续削弱      | 澳大利亚、比利时、法国、意大利、瑞典、瑞士 |
| 保持稳定 | 这些经济体与全球领先者的相对竞争力保持大致稳定                  | 印度、印度尼西亚、荷兰、英国        |
| 全球新星 | 由于工资适度增长,生产持续提高,汇率稳定和能源成本优势,相比其他经济体竞争力提高 | 墨西哥、美国                |

8. 据材料分析,中国制造业面临压力的最主要原因是( )

- A. 生产成本逐渐升高    B. 产能过剩  
C. 环境问题日趋严重    D. 消费饱和

9. 上表四种模式的国家中( )

- A. 巴西、俄罗斯的问题都是劳动力短缺造成的  
B. 法国和意大利应降低生产成本,提高竞争力  
C. 英国和印度尼西亚的竞争力都很强  
D. 美国和墨西哥的发展得益于技术创新

常住人口是指实际居住在某地一定时间(半年以上)的人口。据各省级行政区统计资料,北京、辽宁常住人口数2017年、2018年连续两年呈现负增长。读表,回答10~11题。

| 省级行政区 | 2018年常住人口( $10^4$ 人) | 2017年常住人口( $10^4$ 人) |
|-------|----------------------|----------------------|
| A省    | 11 346               | 11 169               |
| 山东省   | 10 047.24            | 10 005.83            |
| 河南省   | 9605                 | 9 559.13             |
| 四川省   | 8341                 | 8302                 |
| 江苏省   | 8 050.7              | 8 029.3              |
| 河北省   | 7 556.3              | 7 519.52             |
| 湖南省   | 6 898.8              | 6 860.2              |
| 安徽省   | 6 323.6              | 6 254.8              |

10. A省常住人口数量全国第一,说明A省最可能( )

- A. 气候条件适宜人类生存  
B. 自然资源丰富多样  
C. 产业发展好,就业机会多  
D. 人口自然增长率高

11. 北京市常住人口连续两年负增长的最重要原因是( )

- A. 严格的人口调控政策  
B. “全面二孩”政策的实施  
C. 严格的户籍制度  
D. 环境承载力变小

秋台风通常是指9—11月生成的台风,其成员不如夏台风那样多,但威力却不容小觑。据报道,秋季强台风“山竹”向西北方向移动,于2018年9月16日登陆我国广东,对相关地区居民生产、生活造成严重影响。下表为1949—2014年西北太平洋和南海生成台风个数统计数据。据此完成12~13题。

| 统计项目   | 夏季    | 秋季    |
|--------|-------|-------|
| 生成台风个数 | 783   | 755   |
| 超强台风个数 | 128   | 211   |
| 超强台风占比 | 16.3% | 27.9% |

12. 统计数据显示,我国秋季台风强度大于夏季。其主要原因是( )

- A. 低纬海区海水温度较高  
B. 地表摩擦力减小  
C. 副热带高气压增强  
D. 副热带高气压减弱

13. 与“山竹”向西北方向移动登陆联系最密切的是( )

- A. 低纬东北信风推动  
B. 赤道低气压带吸引  
C. 副热带高气压推动  
D. 副极地低气压吸引

## 方向2 饼状结构图

### 典题示范

抚养比是指在某一地区的人口中非劳动年龄人口数与劳动年龄(15~59岁)人口数之比,用以反映该地区劳动人口抚养负担的大小。读江浙沪和川渝地区人口数量及年龄结构图(图1-4-2),完成1~2题。

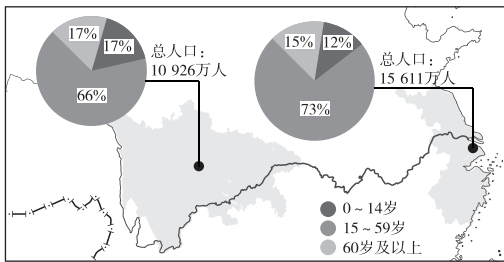


图1-4-2

1. 江浙沪地区少儿抚养比低的原因有( )

- ①婚育年龄提高
  - ②养育子女的成本高
  - ③总人口数量大
  - ④养儿防老观念发生变化
- A. ①②③  
B. ①②④  
C. ①③④  
D. ②③④

2. 造成川渝地区和江浙沪老年人口比重差异的原因主要是( )

- A. 两地自然环境差异
- B. 经济水平差异引起的人口迁移
- C. 全国“二孩”生育政策的全面放开
- D. 社会福利和养老基础设施的差异

### 判读思路

扇状统计图的判读思路:①阅读图例和文字说明,看该图反映了哪些地理事象;②分析这些地理事象的共同点和差异性;③对反映的地理事象进行排序;④揭示所反映的事象产生的根源,评价优劣,提出可行性建议和对策。

饼状统计图只是将扇状统计图的圆变成了可以反映地理事象总量的“饼”,“饼”的厚薄表示这种地理事象总量的大小,判读时可读出地理事象在某时期的总量,还可通过比例转换计算出各部分的绝对数量,其他判读方法与扇状统计图类似。

### 规范演练

我国某中学选修课小组的同学在进行城乡人口与经济发展的研究时,分别选取了某市支柱产业为旅游、商业、工业、农业的四个面积相当的功能区。图1-4-3为同学们绘制的2018年该四个功能区人口与经济状况统计图(甲、乙、丙、丁四区的常住人口分别为1.7万、5万、8万、22万),图中圆心位置表示其坐标值,扇形图表示该功能区的人口年龄构成。据此完成1~2题。

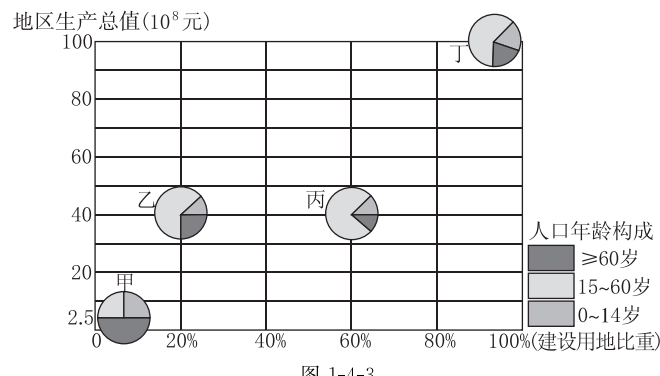


图1-4-3

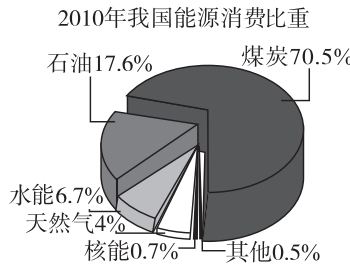
1. 四个功能区中,劳动力人均创造的地区生产总值最高的是( )

- A. 农业区
- B. 旅游区
- C. 工业区
- D. 商业区

2. 甲功能区老年人口比重最大,其原因最可能是( )

- A. 城市化导致劳动力向外转移
- B. 环境优美吸引老人至此养老
- C. 经济因素使人口出生率下降
- D. 医疗水平使人口死亡率下降

读图1-4-4,完成3~4题。



2010年我国能源消费比重

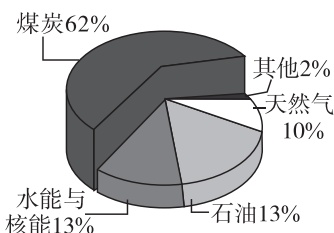


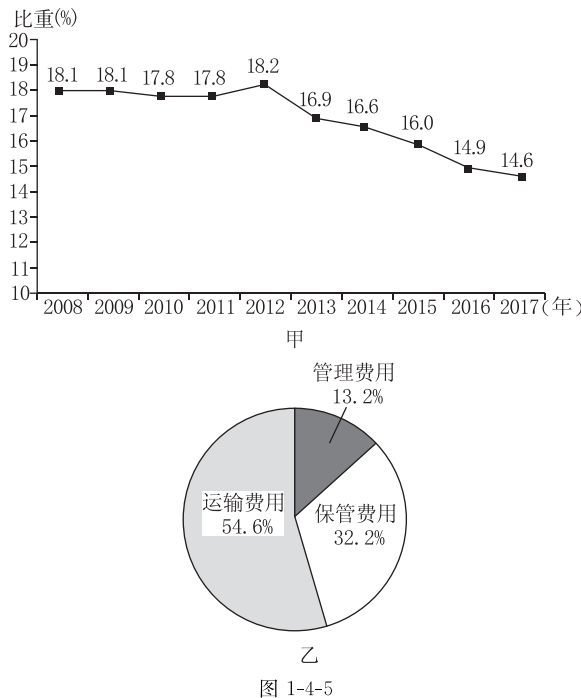
图1-4-4

3. 下列描述符合2010—2020年我国能源发展趋势的是( )

- ①化石能源消费比重不断下降
  - ②煤炭不占重要地位
  - ③石油消费比重呈下降趋势
  - ④太阳能、风能等其他能源消费比重几乎没有变化
- A. ①②  
B. ③④  
C. ①③  
D. ②④

4. 能促进我国能源消费可持续发展的措施是 ( )  
 ①加快发展太阳能、风能等新能源 ②加快产业升级,提高重化工业比重 ③结合国情,增加煤炭消费比重 ④节约能源,提高能源利用率  
 A. ①② B. ②④ C. ②③ D. ①④

2017年,我国社会物流总费用占GDP的比重为14.6%,实现了“五连降”,2018年一季度进一步降至14.5%,但这一比重仍高于主要发达国家8%~9%和新兴经济体11%~13%的水平。这与我国产业结构、人口和产业空间布局有一定关系,也反映出我国物流“成本高、效率低”的问题。图1-4-5中,图甲示意2008—2017年我国社会物流总费用占GDP的比重变化,图乙示意2017年我国物流成本结构。据此完成5~7题。



5. 导致我国社会物流总费用占GDP比重较大的产业结构现状是 ( )  
 A. 第一产业比重较小 B. 第二产业比重较小  
 C. 第三产业比重较大 D. 第一、二产业比重较大
6. 导致我国社会物流总费用高的产业空间分布特点是 ( )  
 A. 服务业分布集中 B. 制造业分布集中  
 C. 农业生产分布集中 D. 建筑业分布集中
7. 我国社会物流总费用占GDP的比重在2012—2017年连续5年下降,下列属于其原因的是 ( )  
 A. 劳动力成本下降 B. 运输费用下降  
 C. 社会物流总费用下降 D. 经济结构优化

图1-4-6为美国太阳能装置所需光伏组件进口来源构成图。读图完成8~9题。

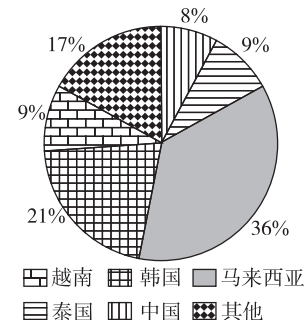


图1-4-6

8. 图示国家太阳能光伏组件大量出口美国的主要原因是这些国家 ( )  
 A. 生产协作条件好 B. 交通运输便利  
 C. 太阳能丰富 D. 劳动力成本低
9. 美国宣布对图示国家太阳能组件增收反倾销关税,这将导致美国 ( )  
 A. 太阳能装置生产企业停产  
 B. 光伏组件价格上涨  
 C. 行业就业迅速增多  
 D. 太阳能装置市场需求扩大

据估算,2018年中国将进口8400多万吨大豆,其中巴西7100万吨,阿根廷750万吨,其余将从俄罗斯和加拿大进口,美国大豆已经不在中国主要采购清单中。图1-4-7为中国大豆进口构成图。完成10~11题。

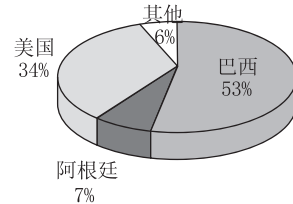


图1-4-7

10. 2018年以前,我国主要从美国和巴西进口大豆,这有利于保持我国大豆进口市场的年内稳定性,原因是美国 ( )  
 A. 与巴西亚豆生产季节互补性强  
 B. 大豆种植面积广、产量高  
 C. 自然灾害的抵御能力更强  
 D. 大豆的转运速度更加快捷
11. 2018年我国大豆进口政策的调整将导致 ( )  
 A. 美国大豆存储设备价格可能上涨  
 B. 巴西大豆运输成本大幅度增加  
 C. 阿根廷牛肉出口价格大幅降低  
 D. 俄罗斯大豆种植区域迅速转变

### 方向3 柱状结构图

#### 典题示范

常住人口是指居住在某地一定时间(半年以上)的人口。安徽省2017年常住人口达6254.8万人,比上年增加59.3万人。2001—2017年安徽省常住人口年增长率如图1-4-8所示,同期该省人口自然增长率保持在0.6%~0.7%。据此完成1~2题。

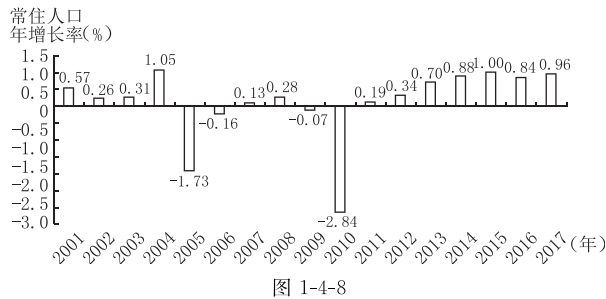


图1-4-8

- 2005年和2010年该省常住人口大量减少,表明该省当年  
A. 外出求学人数激增 B. 外出务工人员激增  
C. 外出旅游人数激增 D. 外来务工人员剧减
- 2013年后该省  
A. 人口出生率大幅提高 B. 劳动力缺口逐渐缩小  
C. 人口回流现象明显 D. 老龄化问题得到解决

#### 判读思路

柱状结构图用矩形的高低或长短来表示数据的大小,在垂直或水平方向上进行比较。一般把分类项在水平轴(X轴)上标出,而把数据的大小在垂直轴(Y轴)上标出,这样可以强调数据是随分类项(如时间)变化的。柱状统计图可以用来说明地理事物的绝对数量,如某地年降水量逐月分配图。

柱状统计图的判读思路(以垂直柱状图为例):①了解纵、横坐标所表示的内容,思考纵、横坐标所反映的内容之间的联系;②对图柱高度的变化过程进行分析,递增段表示纵坐标地理事物与横坐标要素之间呈正相关,递减段表示纵坐标地理事物与横坐标要素呈负相关;③对地理事物及变化过程和峰值、谷值、谷峰变化进行相关分析;④对图柱的不同变化阶段进行分析、评价,提出建议和对策。

#### 规范演练

共享单车是指企业在校园、地铁站点、公交站点、居民区、商业区、公共服务区等提供自行车共享服务,是一种分时租赁模式。图1-4-9是杭州市不同职业人群使用共享单车情况的调查结果。读图,完成1~3题。

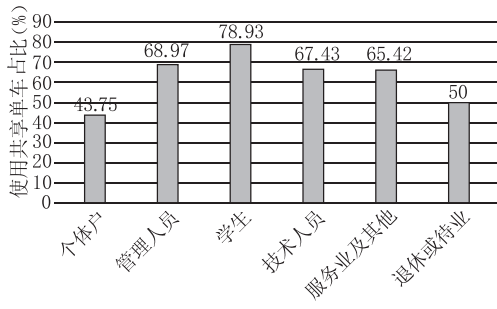


图1-4-9

- 共享单车使用距离主要集中在

- A. 0~3千米 B. 3~5千米  
C. 5~7千米 D. 7千米以上

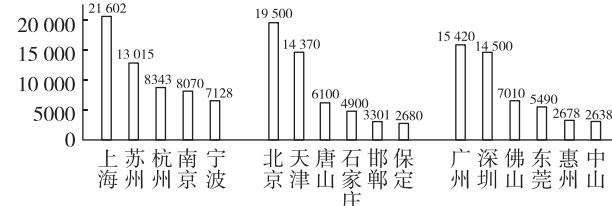
- 共享单车的使用时间最主要集中在

- A. 5~7时 B. 7~9时  
C. 11~13时 D. 13~15时

- 据图分析共享单车最适宜投放的地点是

- A. 地铁站点附近  
B. 工厂附近  
C. 公园附近  
D. 高铁站附近

目前全球40个主要城市群的经济产出占世界经济总量的七成左右。在中国,三大城市群以5%左右的国土面积贡献了GDP总量的四成。图1-4-10为2013年我国三大城市群中主要城市地区生产总值比较。据此完成4~5题。

地区生产总值( $10^8$ 元)

长江三角洲城市群

京津冀城市群

珠江三角洲城市群

图1-4-10

- 据图可知,京津冀城市群与其他两个城市群相比,存在的主要问题是

- A. 资源、能源短缺明显  
B. 内部发展差距更大  
C. 环境污染问题严重  
D. 经济发展后劲不足

- 解决京津冀城市群上述问题的主要措施是

- A. 加速产业转型,振兴传统工业  
B. 扩大核心城市人口和用地规模  
C. 核心城市建设城市新区,产业转移升级  
D. 发展城市群内一体化交通网络

改革开放以来,我国正经历世界上规模最大、速度最快的城镇化进程;与此同时,流动人口的规模也持续加大。读图1-4-11和图1-4-12,回答6~7题。

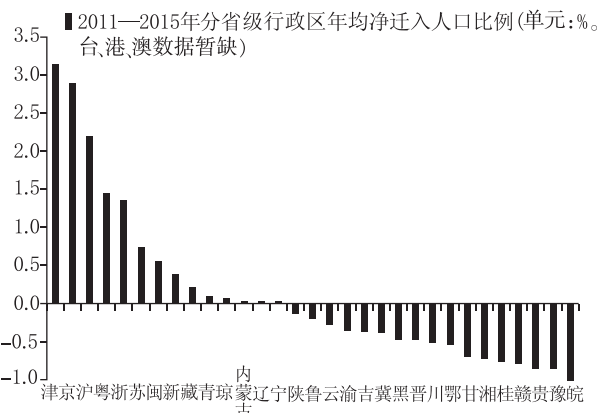
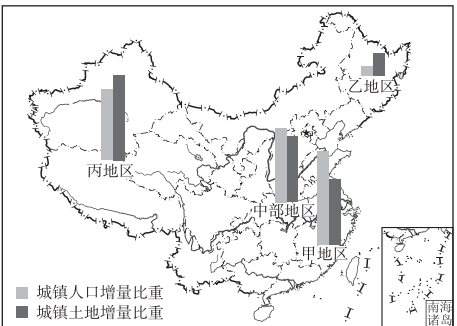


图1-4-11



2010—2015年我国东、中、西部和东北地区城镇人口、土地增量占全国比重

图 1-4-12

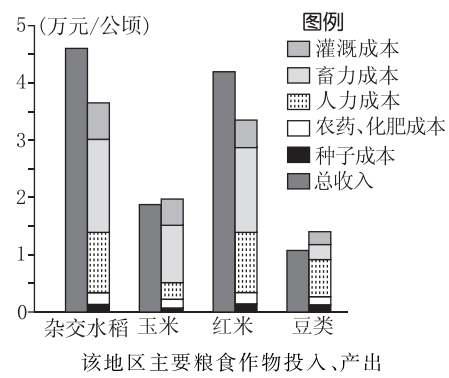
6. 据图 1-4-11 分析, 我国 2011—2015 年 ( )

- A. 天津市年均净迁入人口数量最多
- B. 迁入人口比迁出多的省级行政区占多数
- C. 沿海省级行政区对迁入人口较具吸引力
- D. 西部省级行政区因经济因素人口净迁出

7. 图 1-4-12 中各地区 ( )

- A. 城镇人口和土地增长比较均衡
- B. 甲地区应控制中小城市的规模
- C. 乙地区的资源型城市面临转型
- D. 丙地区的环境承载力较大

云南省哈尼族聚居区位于横断山脉南部, 农户非农业收入平均占比达 65.13%。红米是哈尼族聚居区最负盛名的优势传统农作物品种。据此完成 8~10 题。



该地区主要粮食作物投入、产出

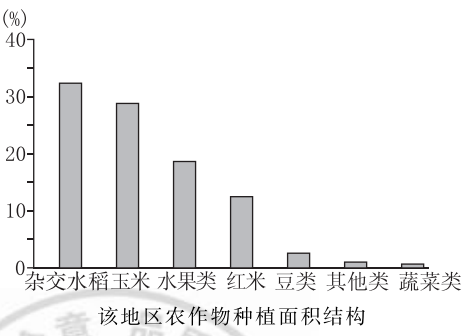


图 1-4-13

8. 与杂交水稻相比, 红米种植面积小的主要原因是 ( )

- A. 种植技术要求高
- B. 易遭受病虫害
- C. 单位面积产量低
- D. 人力成本高

9. 降低哈尼族聚居区粮食种植成本的有效措施是 ( )

- A. 减少使用农药、化肥
- B. 调整农作物的结构
- C. 推广优质高产品种
- D. 推广小型农业机械

10. 哈尼族聚居区种植玉米的主要原因是 ( )

- A. 作为家畜的饲料
- B. 精秆可用作生活燃料
- C. 有利于保持水土
- D. 作为商品粮对外销售

枯落物是植物地表器官枯死后形成的所有有机质的总称, 地表枯落物蓄积量与径流等因素密切相关。科考组选择黄土高原某小流域内分别均匀种植乔木、灌木、草本的三个坡面观察枯落物。这三个坡面具有相似坡度、相同坡向, 棚荒之前均为坡耕地, 植被恢复年限均大于 25 年, 植被生长过程受人类影响很小。图 1-4-14 示意三个坡面不同坡段枯落物蓄积量。据此完成 11~13 题。

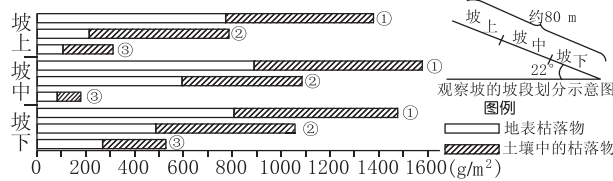


图 1-4-14

11. 图中①②③对应的植被类型依次是 ( )

- A. 乔木、灌木、草本
- B. 草本、乔木、灌木
- C. 灌木、草本、乔木
- D. 草本、灌木、乔木

12. 枯落物对区域环境的影响有 ( )

- A. 增强降水侵蚀力
- B. 促进土壤水分蒸发
- C. 减小土壤孔隙度
- D. 增加地表水分下渗

13. ①②类植被单位面积的地表枯落物蓄积量均是在坡中最 ( )

- A. 径流在坡中的速度最快
- B. 径流搬运作用在坡中明显削弱
- C. 径流量在坡中达到最大
- D. 地表枯落物在坡中的产量最多

图 1-4-15 为长江中游某地区不同时段耕地转换来源与转换率统计图。据此完成 14~16 题。

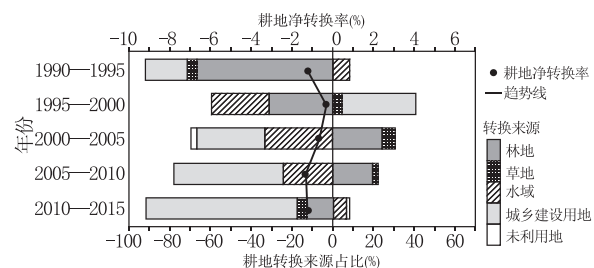


图 1-4-15

14. 该地区 1990—2015 年耕地面积 ( )

- A. 持续增加
- B. 持续减少
- C. 先增后减
- D. 先减后增

15. 下列关于耕地转换方向的叙述中, 正确的是 ( )

- A. 1990—1995 年增加的耕地主要来源于林地
- B. 1995—2000 年增加的耕地主要来源于水域
- C. 2005—2010 年减少的耕地主要用于植树造林
- D. 2010—2015 年减少的耕地主要用于城乡建设

16. 1990—2015 年该地区的发展特点是 ( )

- A. 第一产业比重上升
- B. 城市化水平大幅度提高
- C. 区域人口总数减少
- D. 对自然环境的干预减弱